

10 de diciembre de 2025
Archivo No. 01204123.21-13

Sr. Baitong Chen
Distrito de Gestión de la Calidad del Aire de la Costa Sur
21865 Copley Drive
Diamond Bar, California 91765

Asunto: Determinación del Comité de Reacción Mensual sobre los Límites del Área de Reacción del Vertedero de Chiquita Canyon - Castaic, California

Estimado Sr. Chen:

Conforme a las Condiciones No. 9a y 9b de la Orden de Depuración Estipulada Modificada (SOFA) en relación al Vertedero de Chiquita Canyon (el Vertedero o el Centro) (Caso No. 6177-4), el Comité de Reacción revisó los nuevos datos adquiridos aplicables registrados durante el mes de noviembre de 2025, consideró las revisiones del alcance estimado de las condiciones del vertedero de temperaturas elevadas (ETLF) en el Centro de referencia (denominados límites del "Área de Reacción") y ha elaborado esta determinación sobre potencialmente revisar el mapa del Área de Reacción.

El Adjunto A presenta el Plano con el título "Mapa del Área de Reacción", preparado por SCS Engineers (SCS) con fecha 9 de diciembre de 2025. El Plano muestra el límite del Área de Reacción como se indica en la Condición No. 9a que corresponde a los límites de las Celdas 1/2A, 2B/3, 4 y al Módulo 2B/3/4 P2 como línea negra sólida. El Plano también muestra el alcance estimado de las condiciones de ETLF experimentadas en el sitio en base a la revisión de los datos científicos del Comité de Reacción como línea de puntos magenta. El fundamento que sirve como base para considerar ajustes y modificaciones en el límite del Área de Reacción (o la determinación de mantener el límite decretado) incluye lo siguiente:

- Temperaturas del cabezal del pozo de Biogás (LFG) que exceden aproximadamente los 160 grados Fahrenheit.
- Mala calidad del gas (definido como niveles de metano inferiores al 30 por ciento) junto con proporciones de metano-dióxido de carbono ($\text{CH}_4:\text{CO}_2$) inferiores a 1.0.
- La concentración de hidrógeno (H_2) en el LFG que mide más del 2 por ciento por volumen.
- La concentración de monóxido de carbono (CO) en el LFG que mide más del 2,000 ppm.
- Asentamiento acelerado de la superficie del vertedero, definida como aproximadamente 18 pulgadas o más dentro de un período de 60 días y grietas en la cubierta del vertedero. Esto corresponde a un índice de un valor de tensión (es decir, un índice de asentamiento) del 3 por ciento por año para zonas con profundidad de columnas de desechos de 300 pies, que creemos que es una profundidad promedio razonable en el tema de interés.
- Observaciones de primera mano del Vertedero y/o del personal de campo de ingeniería, construcción y operaciones y mantenimiento (O&M) de SCS que está en el sitio. 1) cantidades excesivas atípicas de lixiviados (presencia y cantidad de líquidos); 2) instancias de líquidos presurizados que salen de la superficie del vertedero, desde los pozos durante las perforaciones y desde los pozos de LFG; y 3) las



características de los olores que se originan en las áreas seleccionadas de la huella de desechos (generalmente descritas como "similares a productos químicos" y distintivamente diferentes del LFG típico u olores en el trabajo del vertedero)

- Observaciones de condiciones y características de los desechos de la subsuperficie como se indica en los registros de perforación del pozo para nuevos pozos y/o sondas, recién instalados.
- Temperaturas de la subsuperficie registradas en las sondas de temperatura de desechos in-situ durante noviembre de 2025.
- Temperatura del gas o de los líquidos medida en profundidad dentro del tubo elevador del pozo de LFG (utilizando un transmisor automatizado o instrumentación de campo manual).
- Temperatura y presiones en la subsuperficie asociadas a las actividades de perforaciones para los nuevos pozos de extracción de gas durante noviembre de 2025.

CONSIDERACIONES DE POTENCIALES AJUSTES AL ALCANCE ESTIMADO DE LAS CONDICIONES DLE ETLF (LÍNEA DE PUNTOS MAGENTA)

Al realizar sus determinaciones mensuales, el Comité de la Reacción evalúa los parámetros del set de datos arriba indicados, junto con otro más, para identificar tendencias significativas que indiquen condiciones de ETLF, en lugar de fluctuaciones exhibidas en puntos de datos aislados.

Cada mes, el Comité de la Reacción examina áreas particulares del Vertedero que previamente exhibieron datos anormales o fluctuantes, cuando aplica. Como se trata a continuación, a pesar de varianzas menores en áreas discretas del vertedero, el Comité de la Reacción no ha discernido ninguna tendencia significativa con respecto a los datos de noviembre de 2025 que indiquen que la reacción se ha expandido a estas áreas.

Cerca de CV-24009

El pozo CV-24009 está posicionado dentro de los 60 pies, aproximadamente de la línea límitrofe delineada y los datos registrados durante noviembre demuestran que las condiciones generalmente se mantuvieron sin cambios durante los últimos cuatro meses. Ocurrió lo mismo en el pozo contiguo CV-24008. Como se indicó en informes previos, el Comité de la Reacción sospecha que el movimiento de gases desde adentro de la zona reactiva a través de colectores horizontales es la potencial causa del calor y la tendencia a largo plazo del gas de calidad marginal a mala en estos pozos.

Celda 2 Fase 2B

El Comité de la Reacción consideró los datos compilados de los pozos dentro y contiguos a la Celda 2 Fase 2B, específicamente de los pozos CV-113, CV-2208A, CV-2334, CV-24120, CV-24127 y CV-24135. Estos pozos están posicionados entre aproximadamente 100 y 300 pies más allá del límite delineado, excepto el pozo CV-2208A, que se compensa a una mayor distancia hacia el este. Durante noviembre, las concentraciones de CH_4 en estos pozos aumentó o se mantuvo en general igual si se las compara con las mediciones registradas durante octubre. Las temperaturas promedio del LFG en estos pozos se redujeron o se mantuvieron en general igual si se las compara con las mediciones registradas durante

octubre. Que aumenten las concentraciones de CH₄ y bajan las temperaturas no sugiere que haya condiciones de ETLF presentes en estos lugares.

Considerando las temperaturas relativamente bajas que se exhiben típicamente en estos cabezales de pozos, además de la evidencia de que no se está impidiendo completamente la metanogénesis, el Comité de la Reacción no cree que se justifique en este momento un ajuste en el límite de la Zona Reactiva para que incluya las partes de la huella de desechos que incluya estos seis pozos dentro o contiguos a la Celda 2 Fase 2B.

Inmediatamente al Sur del Límite en los Módulos 2/3B y 4

El Comité de la Reacción consideró los datos compilados de los pozos posicionados inmediatamente al sur del límite actual delineado dentro del Módulo 2/3B y del Módulo 4, específicamente 9 pozos en una proximidad relativamente cerca de la línea limítrofe delineada (CV-2001, CV-2344, CV-2345, CV-2346, CV-2347, CV-2350, CV-2466, CV-24079/TP-08 y CV-2541). Durante noviembre, las concentraciones de CH₄ en estos pozos aumentó o se mantuvo en general igual si se las compara con las mediciones registradas durante octubre. Las temperaturas promedio del LFG en estos pozos se redujeron o se mantuvieron en general igual si se las compara con las mediciones registradas durante octubre. Que aumenten las concentraciones de CH₄ y bajan las temperaturas no sugiere que haya condiciones de ETLF presentes en estos lugares.

Considerando las temperaturas relativamente bajas que generalmente se exhiben en estos cabezales de pozos, además del hecho de que pueden ser condiciones relativamente a corto plazo asociadas a que se sacaron temporalmente de la infraestructura del sistema de LFG debido al despliegue de la cubierta geosintética adicional, el Comité de la Reacción no cree que se justifique en este momento un ajuste en el límite de la Zona Reactiva para que incluya las partes de la huella de desechos al sur de la línea limítrofe en los Módulos 2/3B y 4 incluyendo estos nueve pozos.

Subáreas Dentro del Límite de la Zona Reactiva Dirigido por Datos

Como se exhibe en los mapas de rango de gradiente isotérmico que se incluyen como Adjunto C de este Informe de Determinación de Zona Reactiva mensual, las temperaturas de los cabezales de pozos de biogás registradas cada mes demuestran varias subáreas dentro del límite dirigido por datos que exhiben consistentemente temperaturas sustancialmente más bajas que otros cabezales de pozos dentro de este límite. Una subárea está posicionada en la parte sur-central de la zona reactiva dirigida por datos y otro está posicionado en la parte central este de la zona reactiva dirigida por datos. Ambas subáreas contienen pozos que exhiben temperaturas que están por debajo de los 145 grados F y muchas son tan bajas como 130 grados F. El Comité de la Reacción continúa revisando y analizando los datos registrados en los pozos dentro de estas subáreas para evaluar si varios parámetros operativos indican que la gravedad de la reacción se está reduciendo dentro de estas subáreas, como se evidencia con la reducción de temperaturas y el aumento de las relaciones de metano a dióxido de carbono y la reducción del contenido de hidrógeno en pozos selector dentro de estas subáreas.

DATOS DE LAS SONDAS DE MONITOREO DE TEMPERATURA

El Comité de la Reacción revisó las mediciones de temperatura registradas durante noviembre de 2025 utilizando las sondas de monitoreo de temperatura in-situ. A noviembre de 2025, siete de las 32 sondas (TP-2, TP-3, TP-9, TP-11, TP-15, TP-18 y TP-21) están dentro del alcance estimado actual de las condiciones del ETLF (línea de puntos magenta) De las veinticinco (25) sondas restantes colocadas fuera del

límite, doce sondas se encuentran en una proximidad relativamente cercana (dentro de los 200 pies) a este límite.

El Comité de la Reacción evaluó las temperaturas máximas durante 30 días registradas en TP-24, TP-26, TP-29, TP-30 y TP-31, que se han mantenido relativamente consistentes durante el período de 6 semanas previo del 23 de octubre al 3 de diciembre de 2025, excepto dos aumentos de corto plazo (2 días) y posteriores reducciones en el intervalo de 240 pies en TP-29. La temperatura máxima en esta termocupla de 191 grados F ocurrió un solo día y la temperatura promedio durante el período de 30 días fue de 184 grados F.

Las presentaciones de la documentación semanal de la sonda de monitoreo de temperatura durante todo noviembre indicaron que los valores de las temperaturas medidos en TP-08 en la termocupla que está a 150 pies se consideran inválidos por un mal funcionamiento de los equipos. Este problema se identificó inicialmente en septiembre y las reparaciones en el cableado suelto se realizaron a mediados de octubre. Sin embargo, las extremas fluctuaciones erráticas continuaron durante noviembre, por lo tanto el Comité de la Reacción no consideró que estos valores de temperatura sean válidos durante nuestro análisis mensual.

Las temperaturas máximas registradas durante noviembre en termocuplas específicas en TP-24, TP-29 y TP-31 están en 190 grados F o más, que podrán no ser significativamente elevadas para las termocuplas dentro de estas sondas que están posicionadas dentro de las zonas de desechos más profundas, pero son potencialmente indicativas de generación y acumulación de calor, asociado a condiciones de reacción cuando están presentes junto con cambios en la composición del gas, producción excesiva de lixiviados, cambios en la composición de lixiviados, asentamiento acelerado, presiones excesivas y otras características de ETLF. Hay una menor diferenciación entre las temperaturas máximas en 30 días en estas tres sondas, comparadas con las temperaturas máximas en 30 días medidas en las cuatro sondas dentro de la extensión estimada actual de las condiciones de ETLF (línea de puntos magenta), específicamente TP-3, TP-9, TP-15 y TP-21. Sin embargo, los cuatro pozos que están alrededor de TP-24 (CV-24086, CV-24087, CV-24174 y CV-24175) registraron temperaturas promedio en el cabezal del pozo de LFG durante septiembre a noviembre de 114 grados F, que es muy por debajo del rango asociado a las condiciones de ETLF. Esos cuatro pozos también registraron concentraciones de metano promedio de un 39 por ciento durante este período, que es consistente con producción de metano de biogás típica para estas instalaciones. Los tres pozos que rodean TP-29 TP-29 (CV-24091, CV-24171 y CV-24207) registraron temperaturas promedio en el cabezal del pozo de LFG durante septiembre a noviembre de 124 grados F y concentraciones de metano promedio del 47 por ciento durante este período, que sugiere condiciones de descomposición normal de la subsuperficie asociada a la producción de metano. Los dos pozos contiguos a TP-31 (CV-2319 y CV-24111) registraron temperaturas promedio en el cabezal del pozo de LFG durante septiembre a noviembre de 137 grados F, que es muy por debajo del rango asociado a las condiciones de ETLF. Mientras que la concentración promedio de metano en CV-2319 es del 22 por ciento, la concentración promedio de metano en CV-24111 durante los últimos tres meses fue del 43 por ciento, que es consistente con producción de metano de biogás típica para estas instalaciones. Entonces, los pozos que están alrededor de estas tres sondas no exhiben evidencia de calor atípico o de la composición del LFG asociado a condiciones de ETLF.

Por lo tanto, el Comité de la Reacción no cree que se justifique en este momento un ajuste en el límite de la Zona Reactiva que incluya las partes de la huella de desechos que incluya TP-24, TP-26, TP-29, TP-30 y TP-31.

CONCENTRACIONES DE HIDRÓGENO

El Comité de Reacción también evaluó la concentración de H₂ en el LFG durante noviembre de 2025. Recordamos que ciertos pozos posicionados al Sur este del límite de la Zona Reactiva (donde se reactivó la bomba de desagüe pero desde ese momento experimentó algunos retiros de servicio temporales debido a la instalación de la cubierta) habían demostrado periódicamente algún aumento en el contenido de H₂ en el LFG durante la revisión del Comité de Reacción de los datos de los meses anteriores, que fue un caso similar para los datos de noviembre de 2025. El Comité de la Reacción notó en su revisión de los datos que estos pozos no exhibieron temperaturas elevadas, excepto en los pozos CV-24076 y CV-24148. El pozo CV-24076 tuvo una sola instancia de temperatura máxima de 162 grados F, pero exhibió una temperatura promedio de 150 grados durante los últimos tres meses y CV-24148 tuvo una variabilidad en las temperaturas que variaron entre 136 y 173 grados F durante los últimos tres meses. No hubo evidencia de mayor calor que es algo típico en condiciones de ETLF en los pozos que exhiben concentraciones de H₂ atípicas (excepto eventos limitados en los pozos CV-24076 y CV-24148). Como se notó previamente, el Comité de la Reacción sospecha que este aumento en el contenido de H₂ podría atribuirse a los sustanciales desagües que se están logrando en toda la Zona Reactiva y podría estar asociado al movimiento de gas desde adentro de la Zona Reactiva por los colectores horizontales cercanos existentes. Por lo tanto, la presencia de H₂ elevado en estos lugares aislados no sugieren que las condiciones de ETLF se estén expandiendo hacia el sur y hacia el este del límite delineado. Por lo tanto, el Comité de Reacción no cree que se justifique un ajuste en el límite de la Zona Reactiva en este momento.

CONCLUSIÓN

Como se presenta en el Plano incluido como **Adjunto A**, el alcance estimado de las condiciones de ETLF (línea de puntos de color magenta) está completamente contenida dentro del límite del Área de Reacción decretado en la SOFA (línea sólida negra). Como las condiciones del ETLF están completamente contenidas dentro del límite del Área de Reacción y no experimentaron ninguna celda nueva, el Comité de Reacción no encuentra ninguna base para modificar el límite del Área de Reacción como se indica en la Condición 9a, en este momento.

No hubo ninguna opinión disidente entre los miembros del Comité de Reacción sobre esta determinación mensual. Los datos de respaldo se presentan en el Plano incluido como **Adjunto A**. Las mediciones de temperaturas máximas registradas en las 32 sondas de monitoreo de temperatura de los desechos in-situ (tanto valores de 7 Días como de 30 Días) durante noviembre se presentan en el **Adjunto B** en formato gráfico. Las temperaturas de los pozos de LFG registradas en los pozos de extracción para toda la huella del Vertedero se reflejan en el mapa del rango de gradientes isotérmicas presentado como **Adjunto C**. Las relaciones de CH₄:CO₂ medidas en los cabezales de los pozos de LFG cerca del límite de la Zona Reactiva indicado por los datos se muestran en el mapa de rangos presentado como **Adjunto D**. Las concentraciones de H₂ medidas en los cabezales de los pozos de LFG cerca del límite de la Zona Reactiva indicado por los datos se muestran en el mapa de rangos presentado como **Adjunto E**. Las concentraciones de CO medidas en los cabezales de los pozos de LFG cerca del límite de la Zona Reactiva indicado por los datos se muestran en el mapa de rangos presentado como **Adjunto F**. Los valores isopáquicos del asentamiento de la superficie medidos trimestralmente (los del 2 de julio de 2025 comparados con los del 1 de octubre de 2025) cerca del límite de la Zona Reactiva indicada por los datos se muestran en el mapa de rangos presentado como **Adjunto G**. La base de datos electrónica y la plataforma que guarda los registros permite que estas mediciones se descarguen en un formato de hoja de cálculo tabular, que puede presentarse al Distrito de Gestión de la Calidad del Aire de la Costa Sur en una carátula separada, si se solicita.

Por favor, comuníquese con el firmante si tiene preguntas o si necesita más información.

Sr. Baitong Chen
10 de diciembre de 2025
Página 6

Atentamente,



Robert E. Dick, PE, BCEE
Vicepresidente Sénior
SCS Engineers



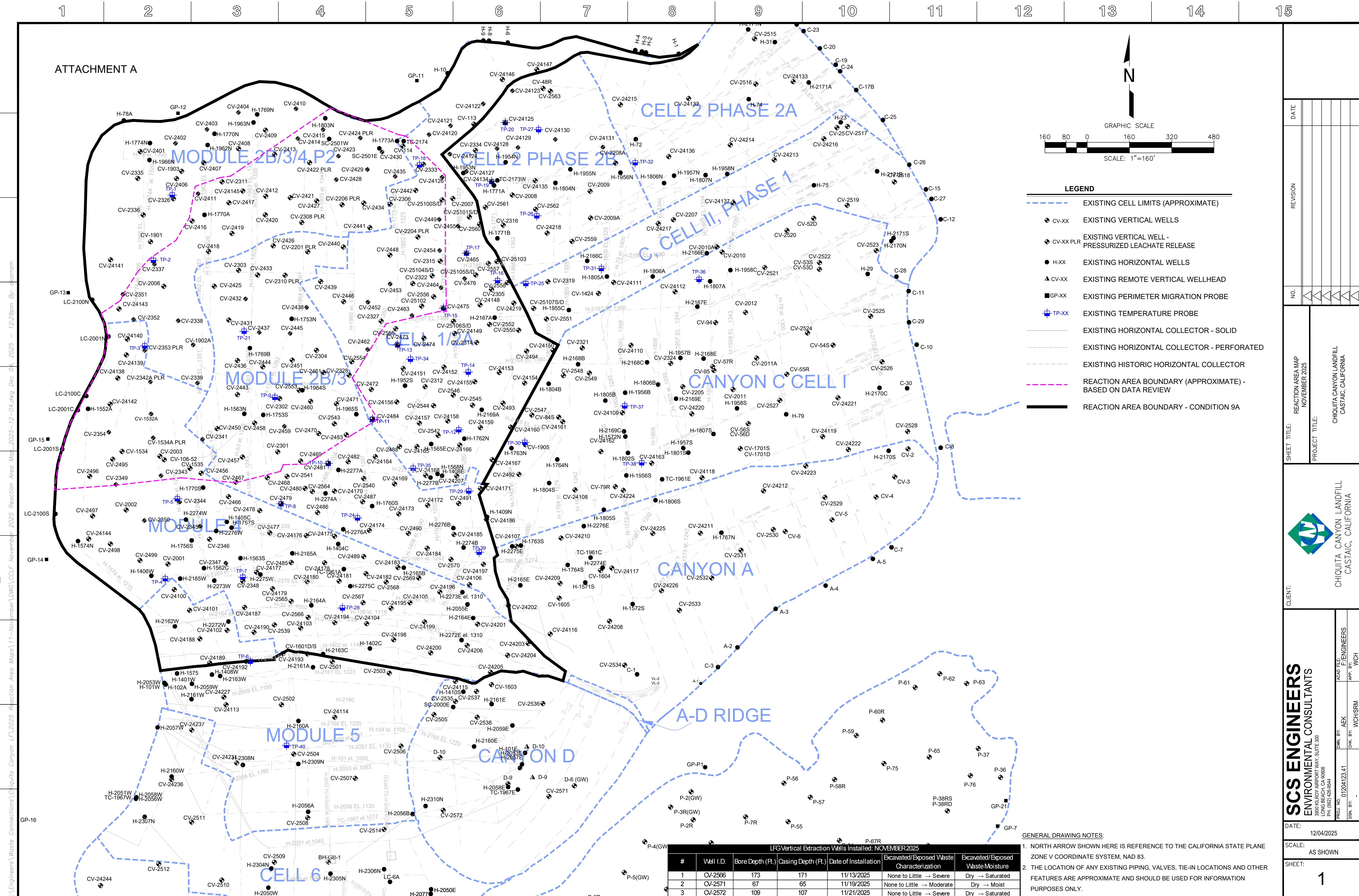
Patrick S. Sullivan, BCES, CCP
Vicepresidente Sénior
SCS Engineers

RED/PSS

cc: Nathaniel Dickel, SCAQMD
Christina Ojeda, SCAQMD
Patrick S. Sullivan, REPA, CPP, BCES, SCS Engineers
Pablo Sánchez Soria, PhD, CIH, CTEH
Neal Bolton, PE, Blue Ridge Services, Inc.
Richard Pleus, PhD, Intertox
Srividhya Viswanathan, PE, SCS Engineers

Adjuntos:

Adjunto A - Mapa del Área de Reacción
Adjunto B - Datos de las Sondas de Monitoreo de Temperatura de los Desechos In-Situ
Adjunto C - Mapa de Distribución de Gradientes Isotérmicas
Adjunto D - Mapa de Distribución de Metano-Dióxido de Carbono del Cabezal del Pozo
Adjunto E - Mapa de Distribución de Hidrógeno en el Cabezal del Pozo
Adjunto F - Mapa de Distribución de Monóxido de Carbono del Cabezal del Pozo
Adjunto G - Mapa Isopáquico de Distribución de los Asentamientos



ADJUNTO B

**Perfiles de Temperatura Máxima en
Cabezales de Pozos de Desechos
Sólidos Durante 6 Semanas**

del 23/10/2025 al 3/12/2025

SCS ENGINEERS

07224053.00

| 4 de diciembre de 2025

274 Granite R Drive
Lancaster, PA 17601
717-550-6330

Desde el 26 de noviembre de 2025 hasta el 3 de diciembre de 2025 hubo dos reducciones de temperatura registradas y hubo un aumento de temperatura registrado que activó los límites de aviso establecidos por la carta de la LEA del 4 de octubre de 2024.

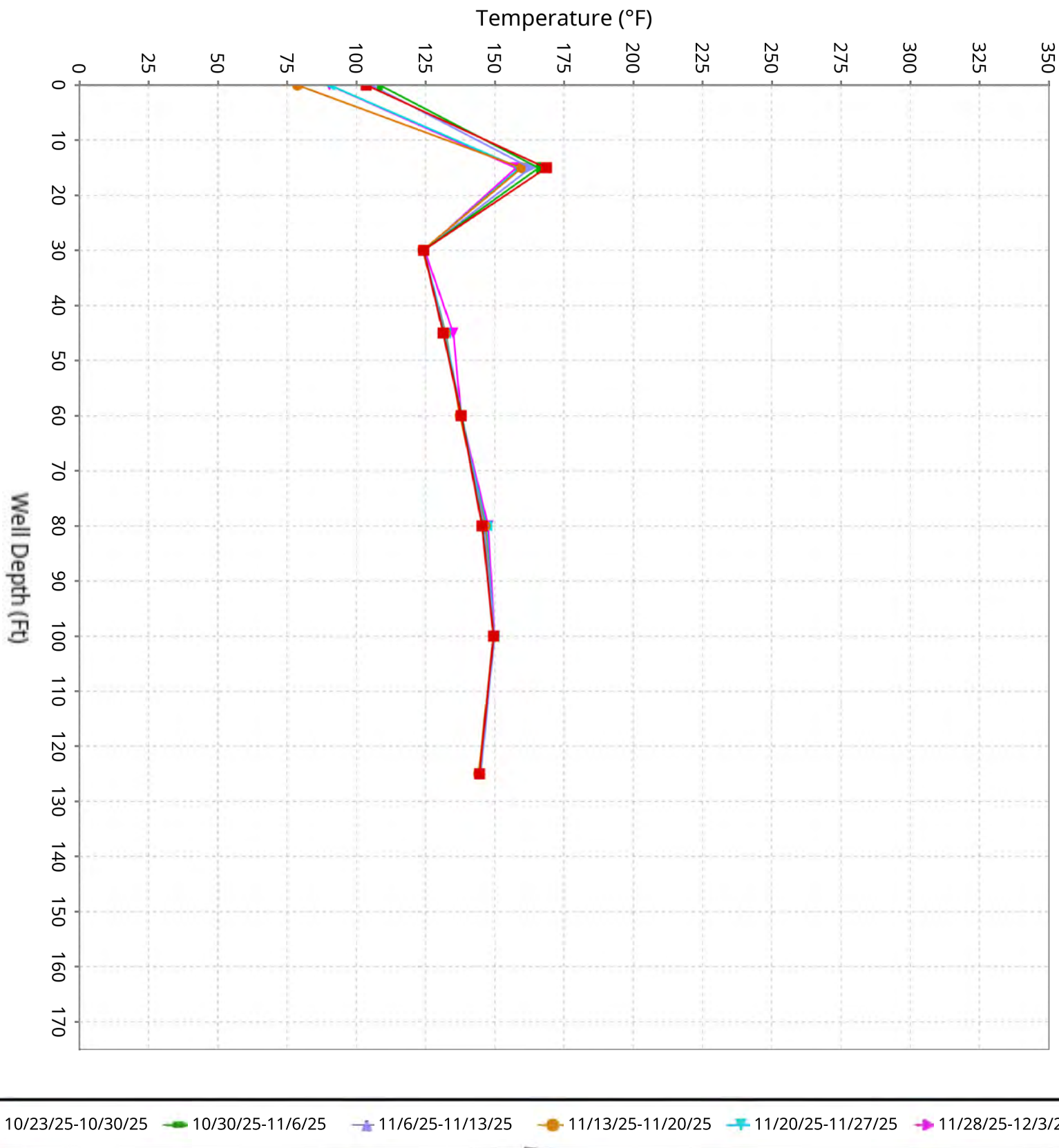
Además, al 4 de abril de 2025, se instalaron doce TMPs nuevas (TMP-24, TMP-25, TMP-26, TMP-27, TMP-28, TMP-29, TMP-30, TMP-31, TMP-32, TMP-34 y TMP-35) que ya están en línea. Ninguna de estas nuevas doce TMPs indican que hayan ocurrido temperaturas de reacción fuera del límite de la zona reactiva dirigido por datos actualmente delineado y las cuatro TMPs que pudieron perforarse dentro de los 25 pies del revestimiento (TMP-24, TMP-27, TMP-31 y TMP-32) indican temperaturas significativamente más frescas en la termocupla más profunda, como se previó, debido al enfriamiento de la tierra subyacente.

Chiquita proporciona las siguientes actualizaciones:

- TP-07
 - Como se informó previamente, la termocupla a los 60 pies indicó lecturas anómalas del 2 de octubre al 13 de octubre de 175 °F hasta 2,507 °F, del 19 de octubre al 21 de octubre y del 30 de octubre al 31 de octubre, indicando problemas con la termocupla y además indicando que las lecturas probablemente fueron erróneas. Se revisó el cableado en la termocupla que estaba a 60 pies y se volvió a conectar, pero continuaron las lecturas erróneas. Se cambió la termocupla que está a 60 pies y regresó a su funcionamiento normal. Ninguna otra termocupla en TP-07 indicó ningún cambio de este tipo en las temperaturas.
- TP-08
 - La termocupla a 45 pies se mantuvo consistente con las temperaturas registradas previas.
 - La termocupla Reducir 125 pies indicó una reducción en la temperatura máxima de 10°F, de 171°F a 161°F, desde el 24 de noviembre hasta el 26 de noviembre después un aumento en la temperatura máxima de 16°F, de 161°F a 177°F del 26 de noviembre al 29 de noviembre y después una reducción en la temperatura máxima de 13°F, de 177°F a 164°F, del 29 de noviembre al 30 de noviembre.
 - La termocupla a 150 pies continuó mostrando lecturas anómalas en lecturas de una sola hora cada día de la semana pasada, indicando que estas lecturas probablemente eran erróneas. La termocupla que está a 150 pies será evaluada la próxima semana para observar si presenta problemas o existe la posibilidad de tener que repararla.
- TP-25
 - La termocupla a 110 pies se mantuvo consistente con las temperaturas registradas previas.
 - La termocupla a 130 pies se mantuvo consistente con las temperaturas registradas previas.
- TP-28
 - Como se indicó previamente, todas las termocuplas estuvieron fuera de línea el 7 de noviembre para elevar el TMP y que muestre una lectura de 0 °F para el 7 de noviembre, ya que se elevó cada termocupla y las elevaciones de cada una muestra cambios. Los cambios de temperatura antes del 7 de noviembre y después del 7 de noviembre no representan cambios en la temperatura para los desechos asociados.

Vertical Temperature Profiles from Temperature Probes at Chiquita Landfill for TP-1

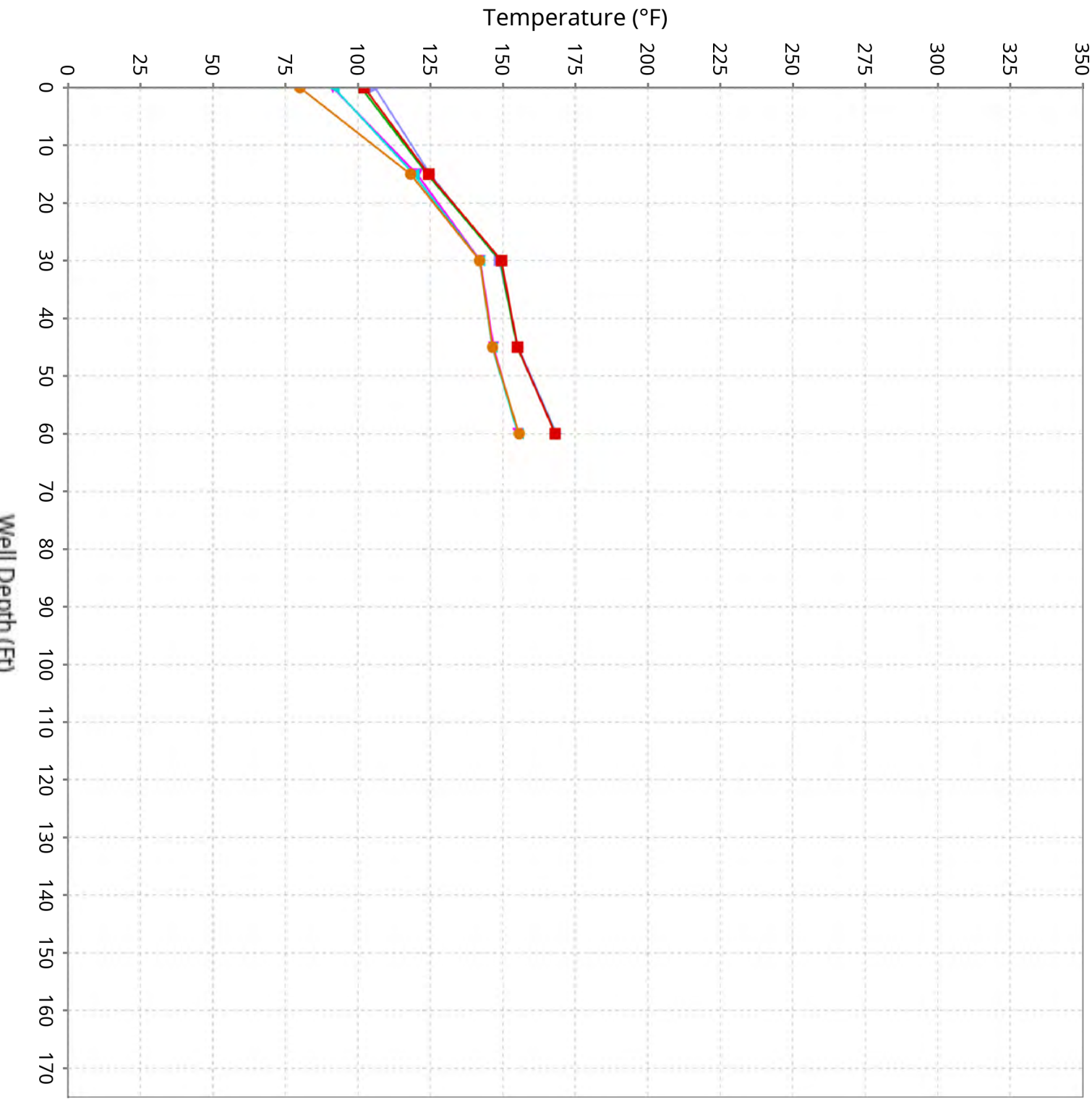
Maximum data for 10/23/2025 to 12/3/2025



■ 10/23/25-10/30/25 ■ 10/30/25-11/6/25 ■ 11/6/25-11/13/25 ■ 11/13/25-11/20/25 ■ 11/20/25-11/27/25 ■ 11/28/25-12/3/25

Vertical Temperature Profiles from Temperature Probes at Chiquita Landfill for TP-2

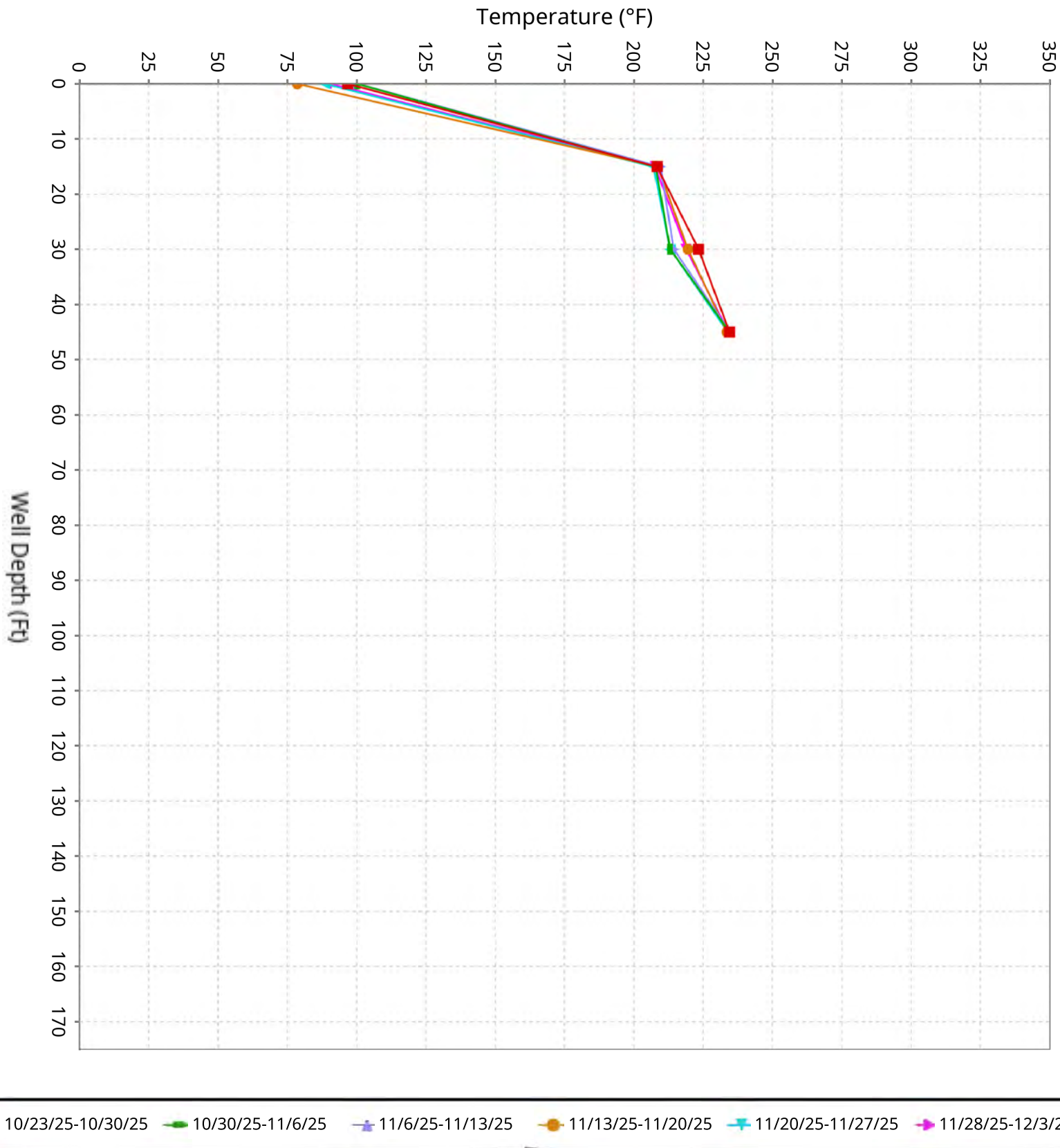
Maximum data for 10/23/2025 to 12/3/2025



■ 10/23/25-10/30/25 ■ 10/30/25-11/6/25 ■ 11/6/25-11/13/25 ■ 11/13/25-11/20/25 ■ 11/20/25-11/27/25 ■ 11/28/25-12/3/25

Vertical Temperature Profiles from Temperature Probes at Chiquita Landfill for TP-3

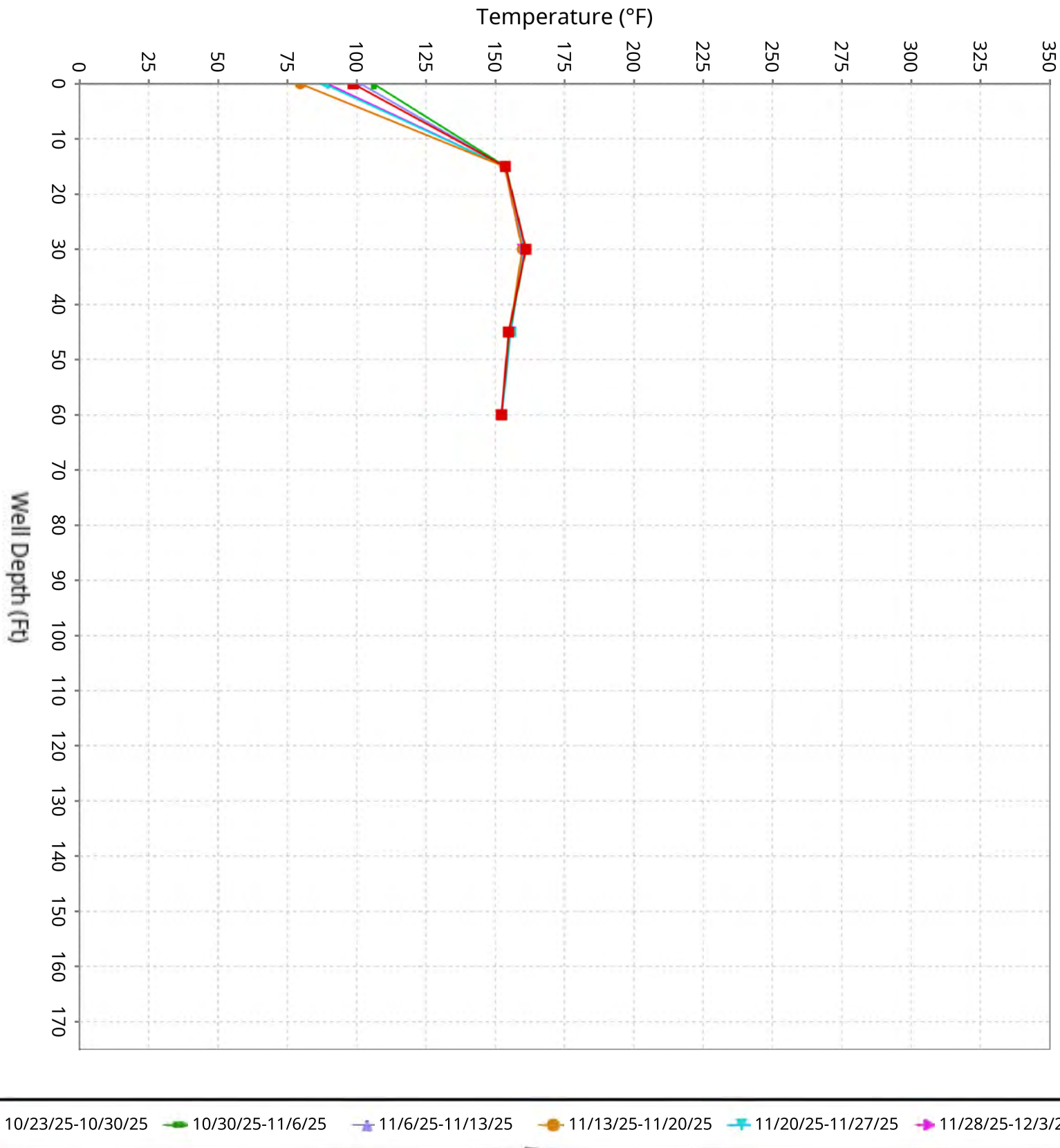
Maximum data for 10/23/2025 to 12/3/2025



■ 10/23/25-10/30/25 ■ 10/30/25-11/6/25 ■ 11/6/25-11/13/25 ■ 11/13/25-11/20/25 ■ 11/20/25-11/27/25 ■ 11/28/25-12/3/25

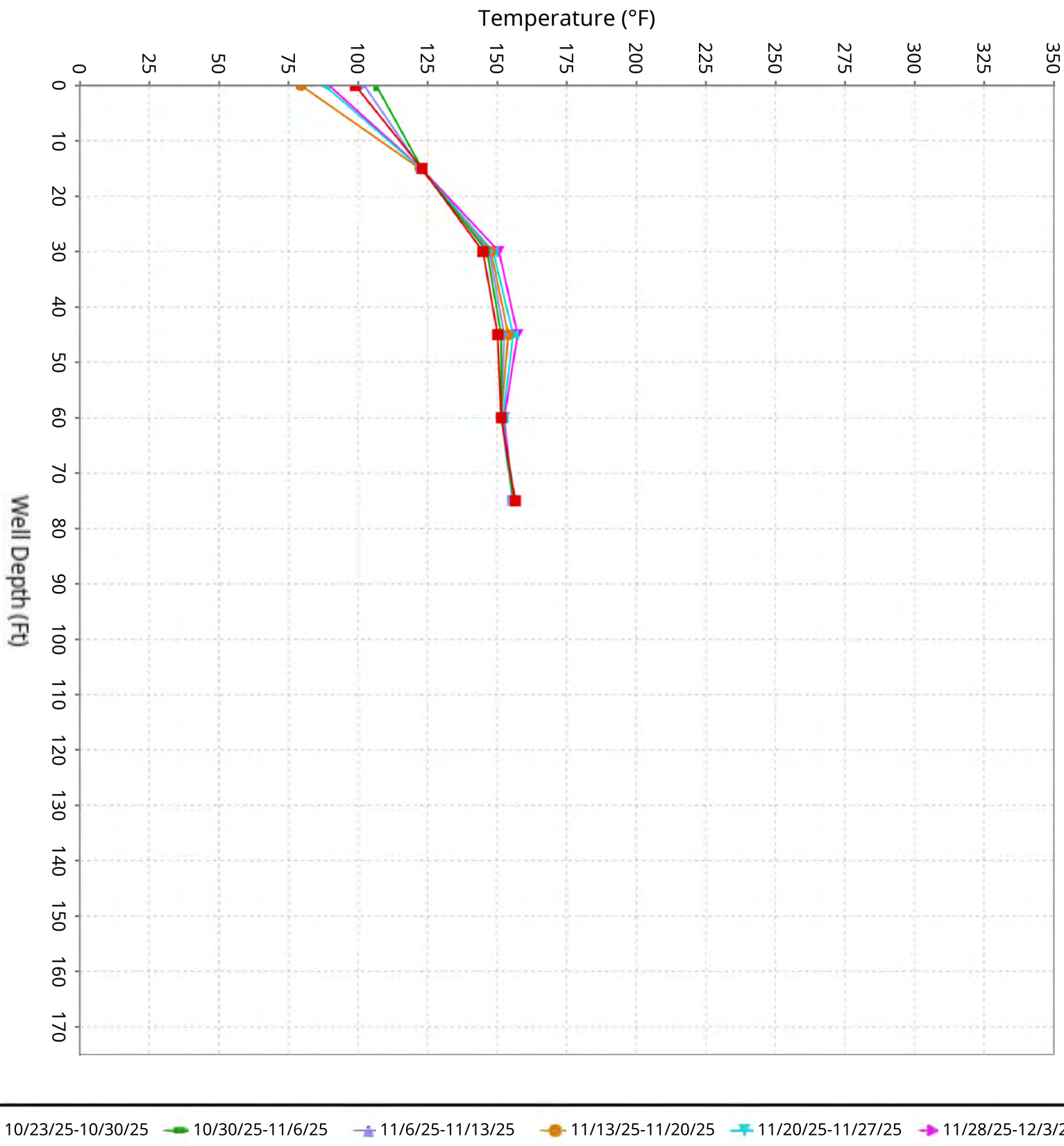
Vertical Temperature Profiles from Temperature Probes at Chiquita Landfill for TP-4

Maximum data for 10/23/2025 to 12/3/2025



Vertical Temperature Profiles from Temperature Probes at Chiquita Landfill for TP-5

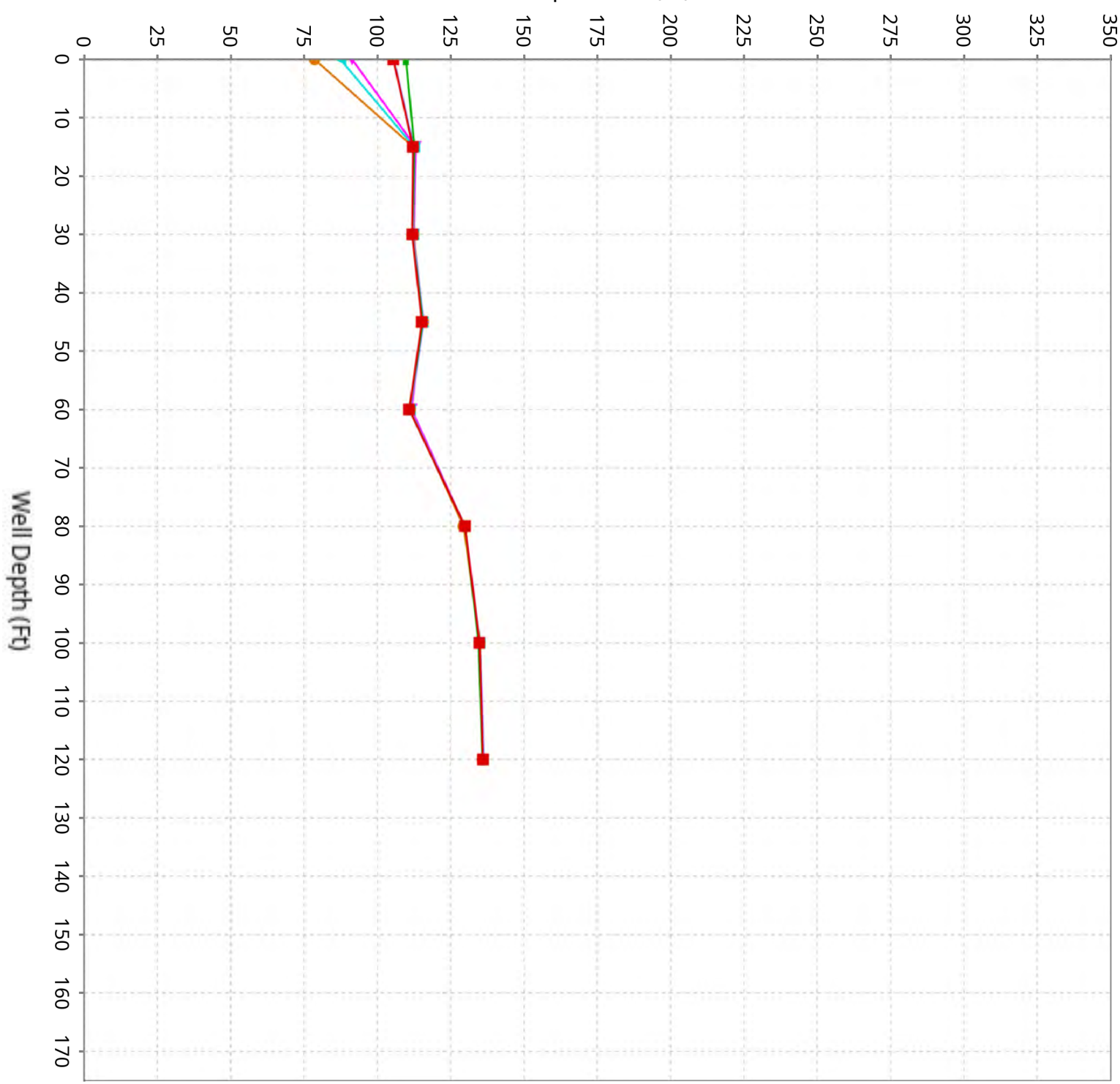
Maximum data for 10/23/2025 to 12/3/2025



Vertical Temperature Profiles from Temperature Probes at Chiquita Landfill for TP-6

Maximum data for 10/23/2025 to 12/3/2025

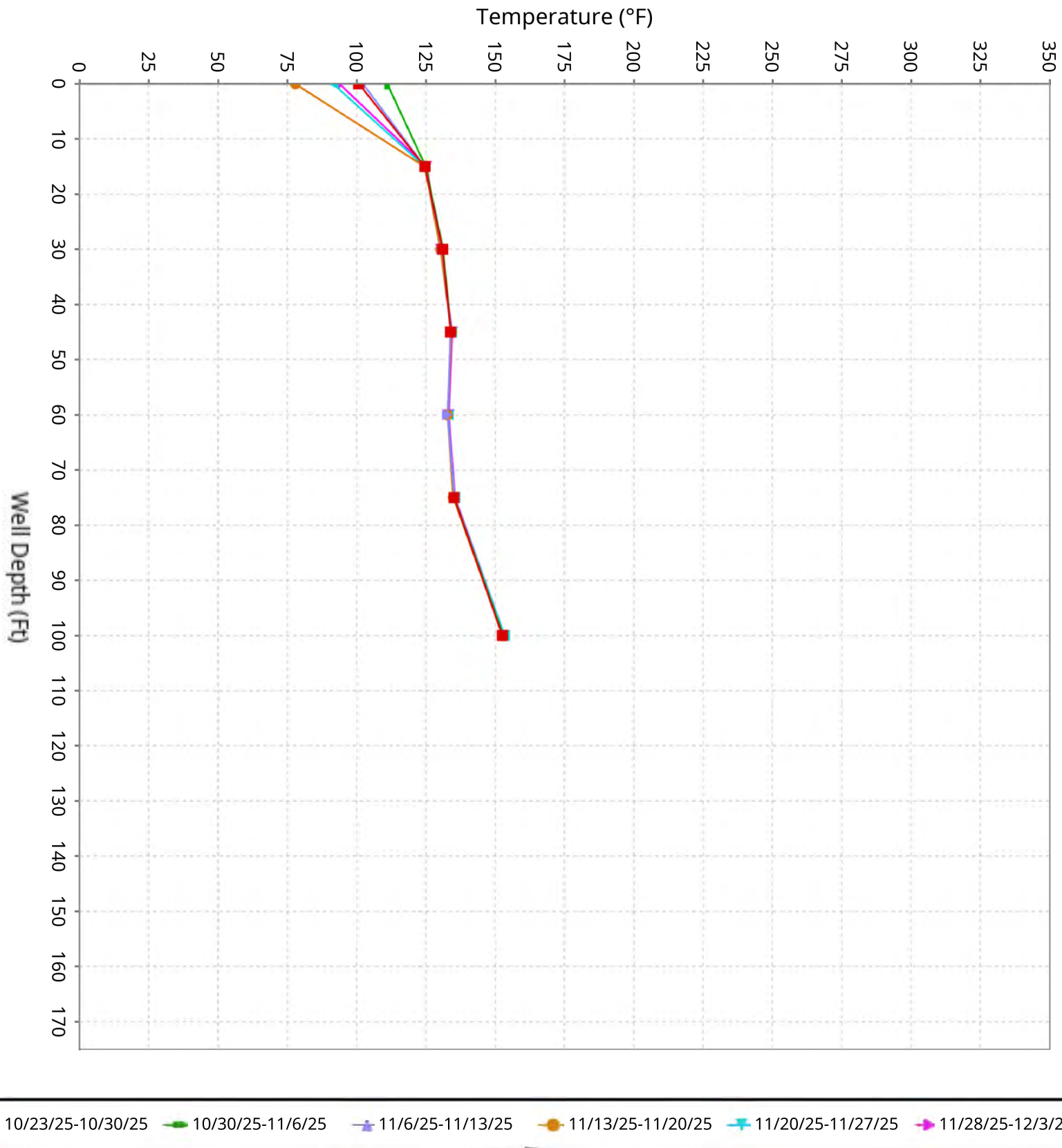
Temperature (°F)



■ 10/23/25-10/30/25 ■ 10/30/25-11/6/25 ■ 11/6/25-11/13/25 ■ 11/13/25-11/20/25 ■ 11/20/25-11/27/25 ■ 11/28/25-12/3/25

Vertical Temperature Profiles from Temperature Probes at Chiquita Landfill for TP-7

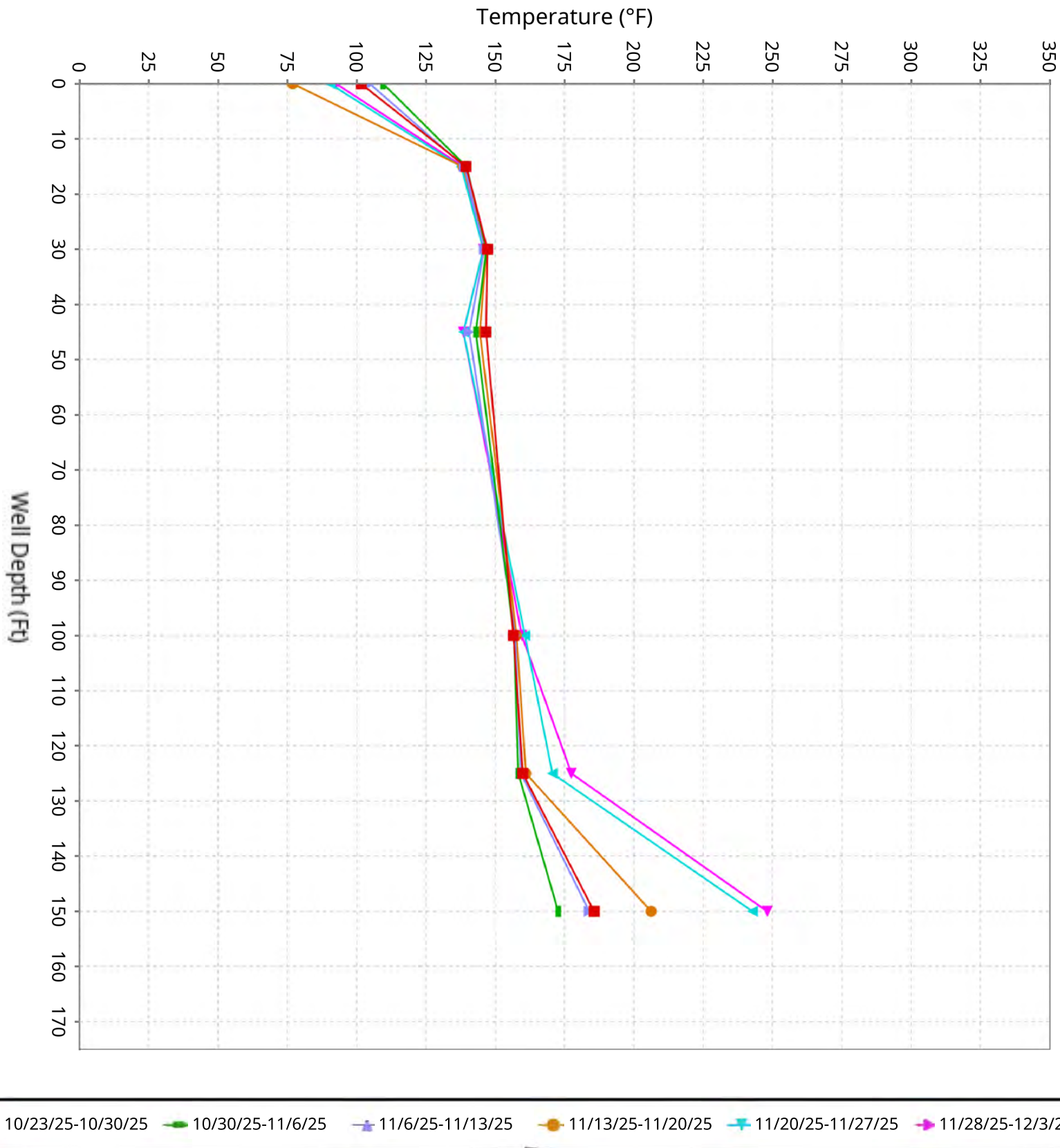
Maximum data for 10/23/2025 to 12/3/2025



■ 10/23/25-10/30/25 ■ 10/30/25-11/6/25 ■ 11/6/25-11/13/25 ■ 11/13/25-11/20/25 ■ 11/20/25-11/27/25 ■ 11/28/25-12/3/25

Vertical Temperature Profiles from Temperature Probes at Chiquita Landfill for TP-8

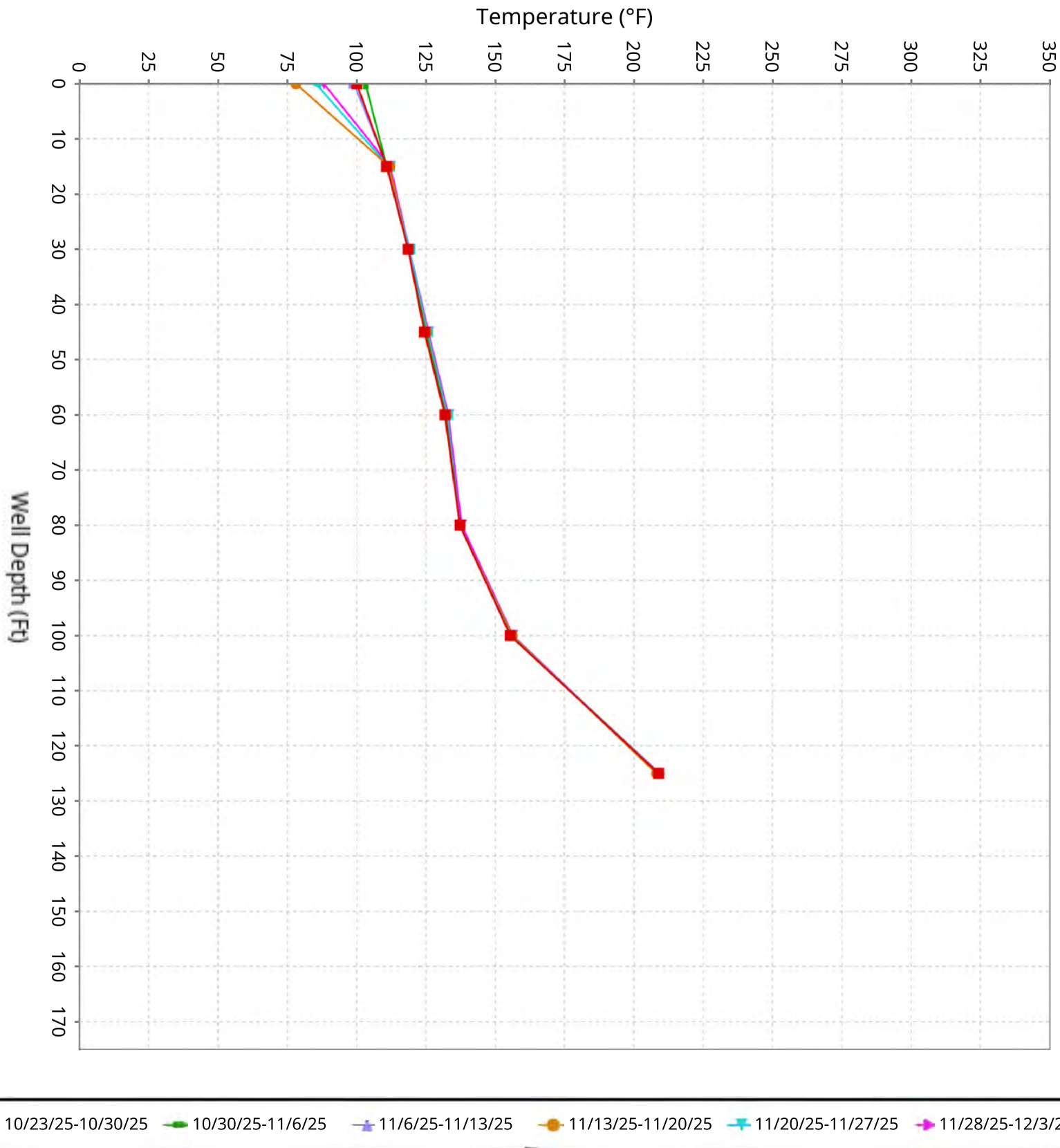
Maximum data for 10/23/2025 to 12/3/2025



■ 10/23/25-10/30/25 ■ 10/30/25-11/6/25 ■ 11/6/25-11/13/25 ■ 11/13/25-11/20/25 ■ 11/20/25-11/27/25 ■ 11/28/25-12/3/25

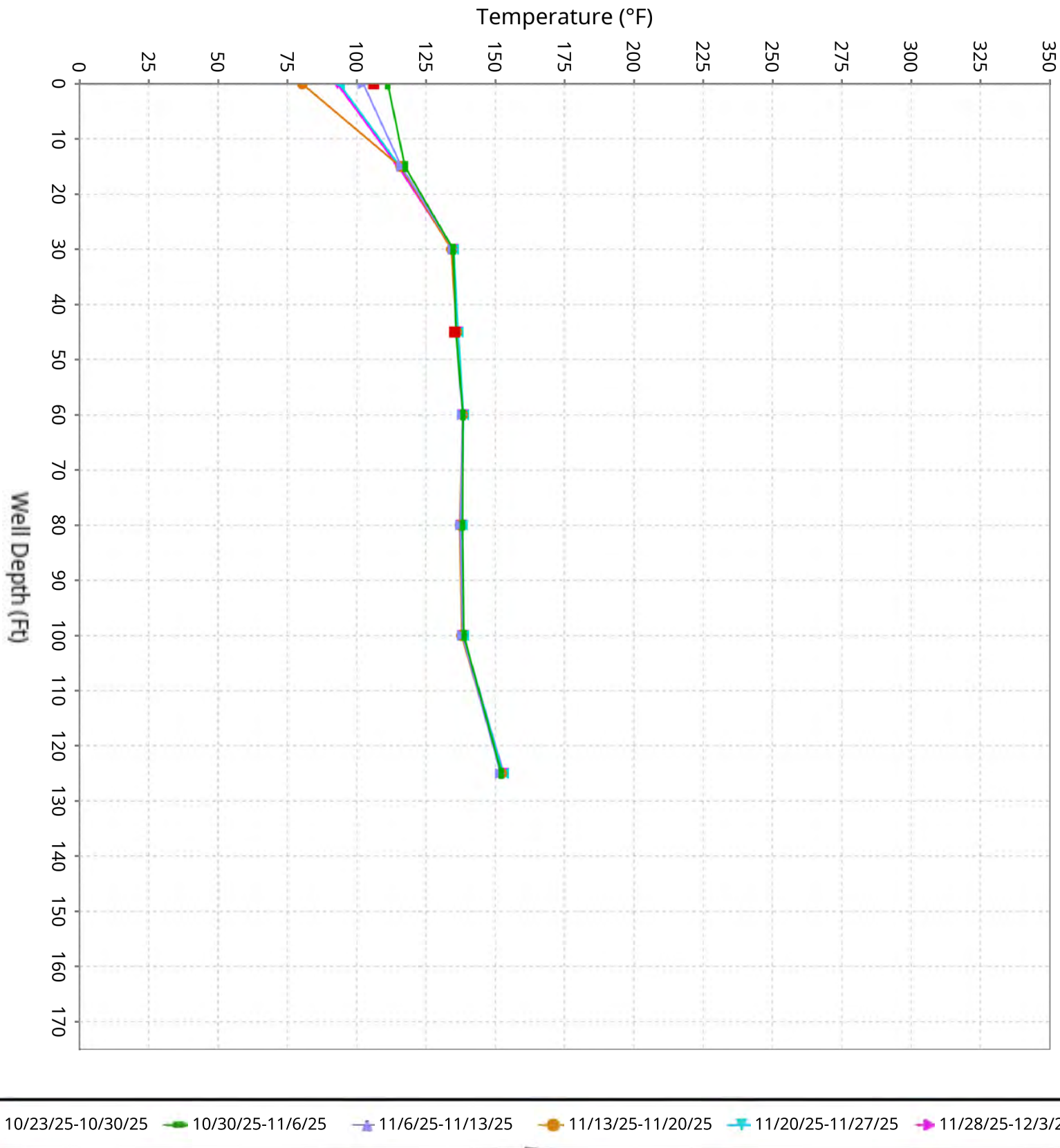
Vertical Temperature Profiles from Temperature Probes at Chiquita Landfill for TP-9

Maximum data for 10/23/2025 to 12/3/2025



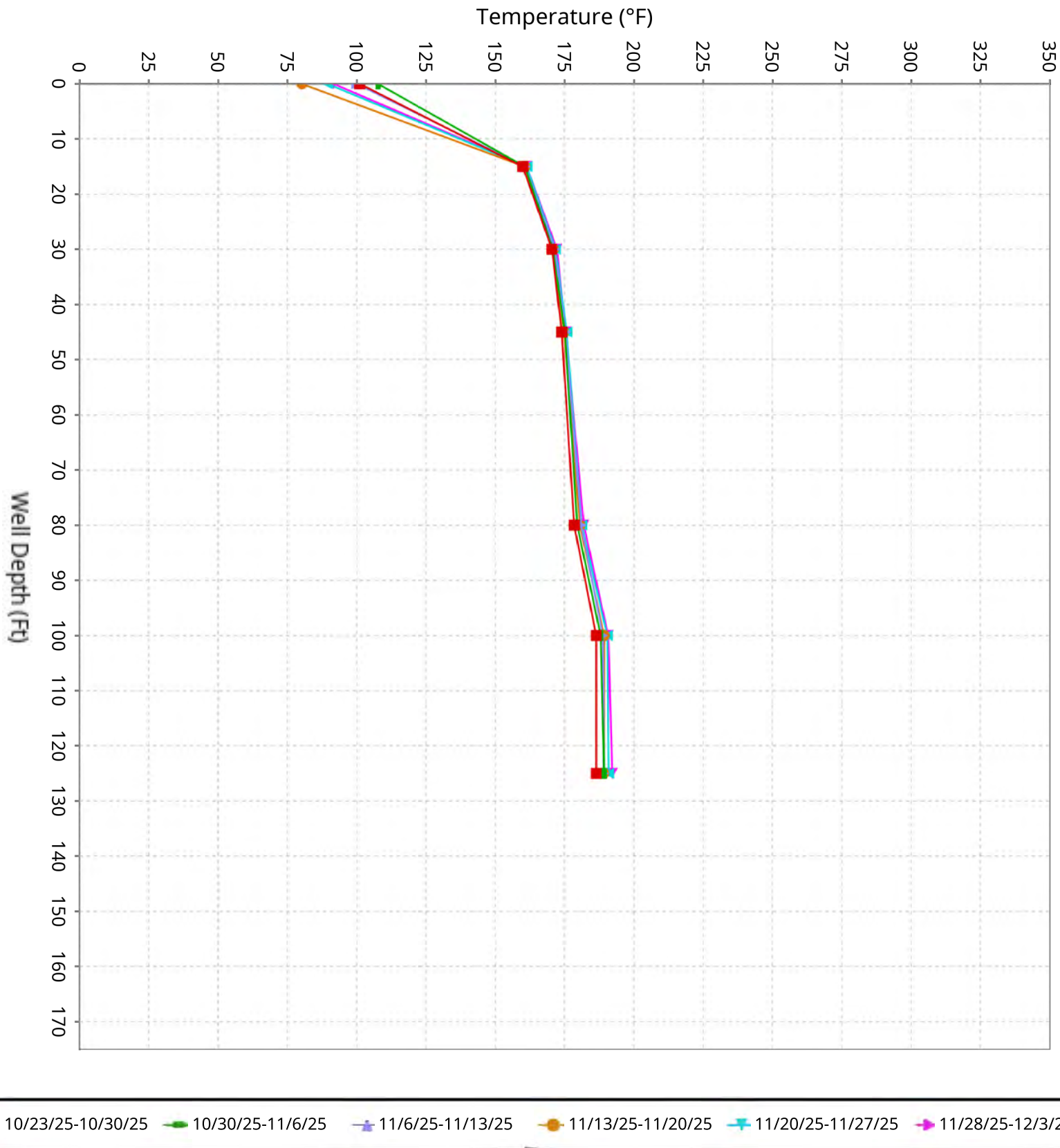
Vertical Temperature Profiles from Temperature Probes at Chiquita Landfill for TP-10

Maximum data for 10/23/2025 to 12/3/2025



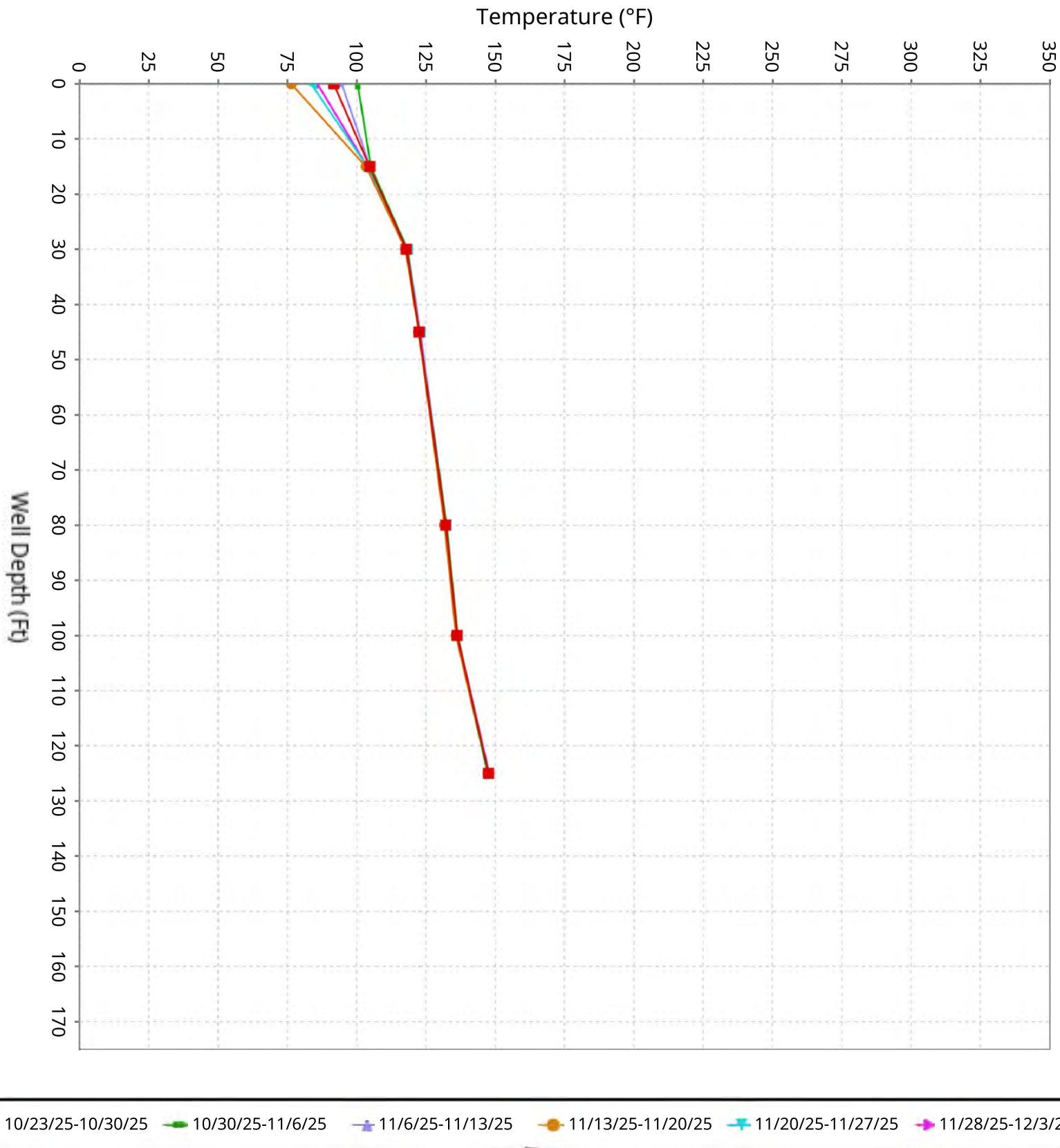
Vertical Temperature Profiles from Temperature Probes at Chiquita Landfill for TP-11

Maximum data for 10/23/2025 to 12/3/2025



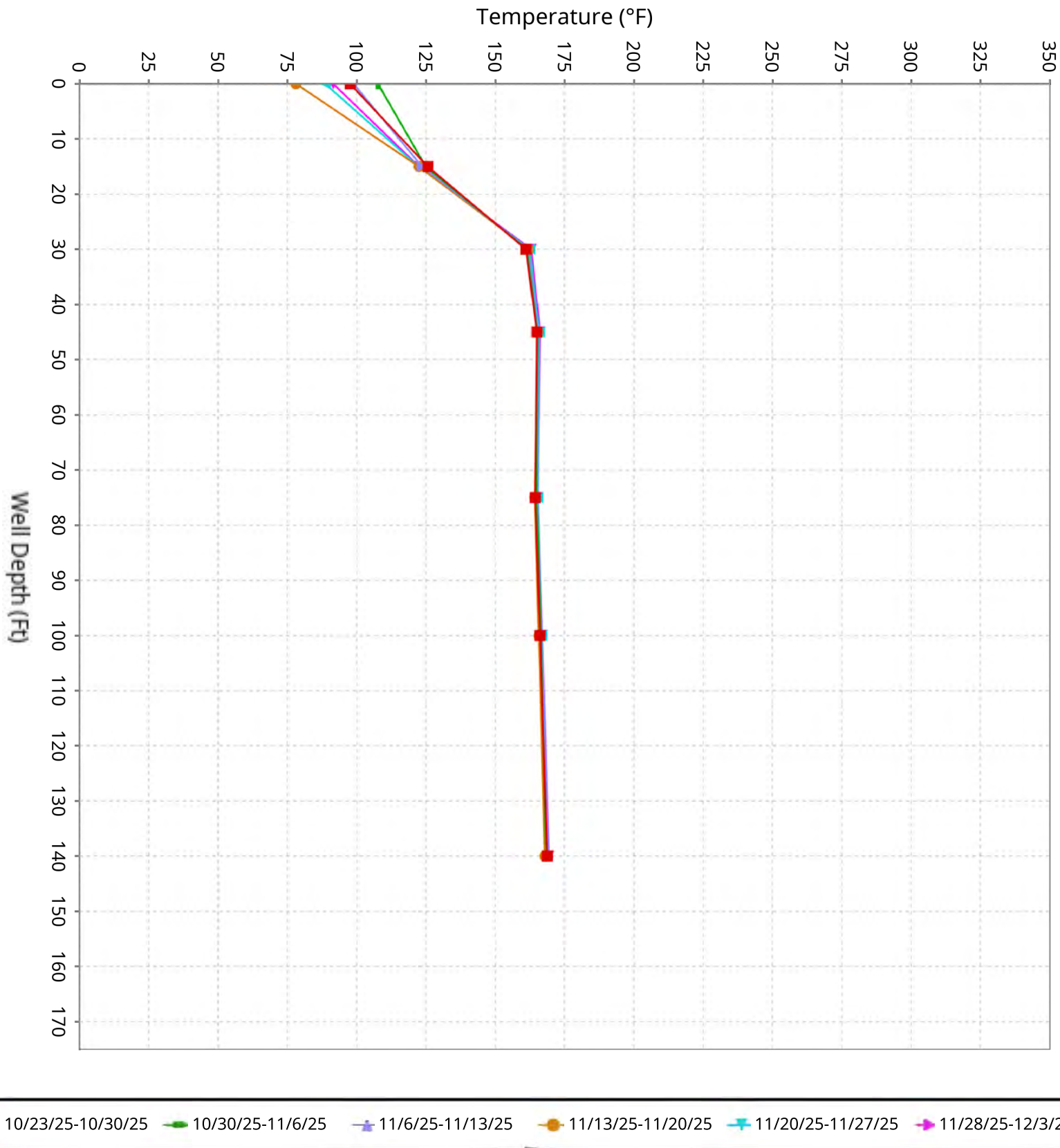
Vertical Temperature Profiles from Temperature Probes at Chiquita Landfill for TP-12

Maximum data for 10/23/2025 to 12/3/2025



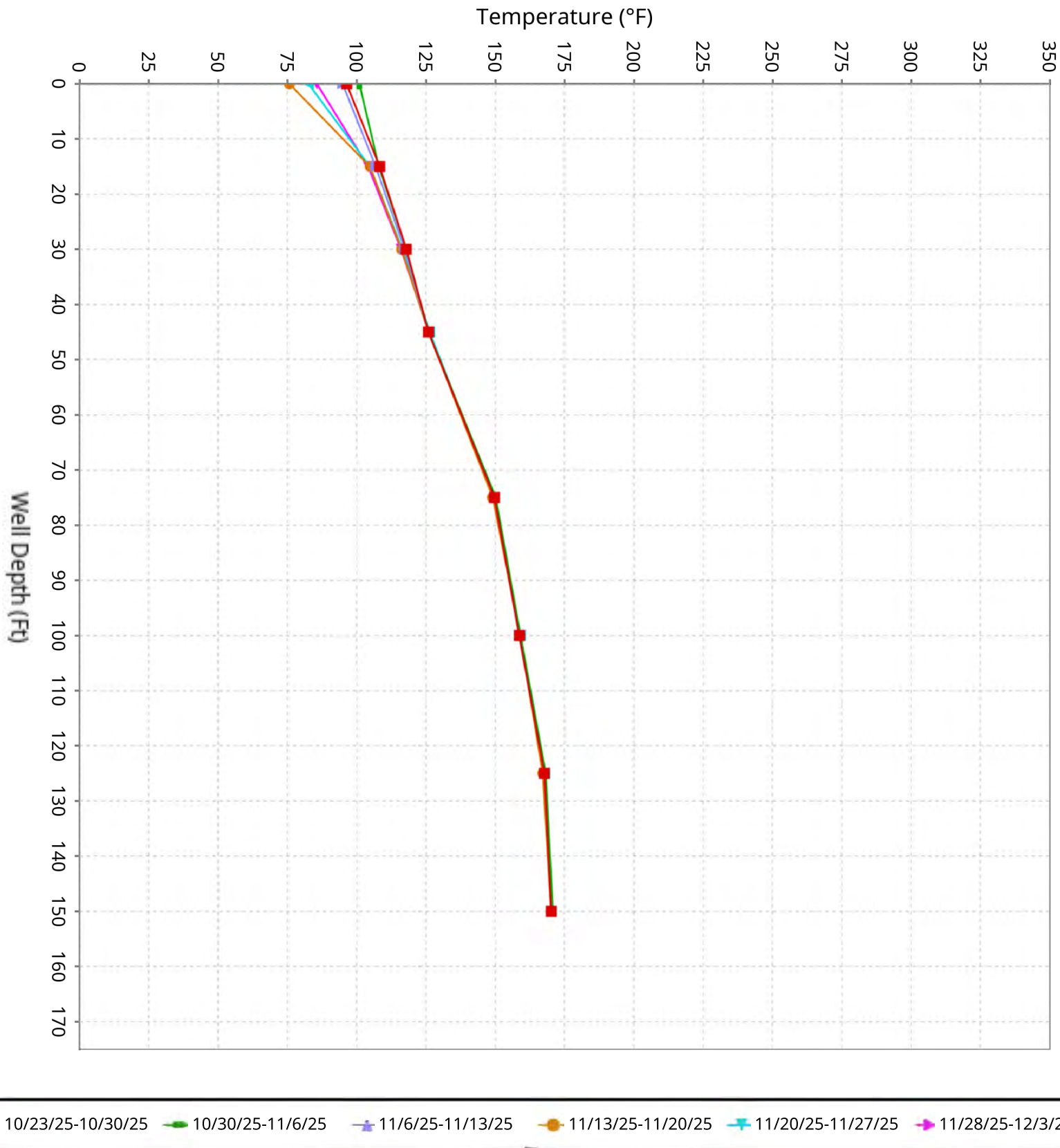
Vertical Temperature Profiles from Temperature Probes at Chiquita Landfill for TP-13

Maximum data for 10/23/2025 to 12/3/2025



Vertical Temperature Profiles from Temperature Probes at Chiquita Landfill for TP-14

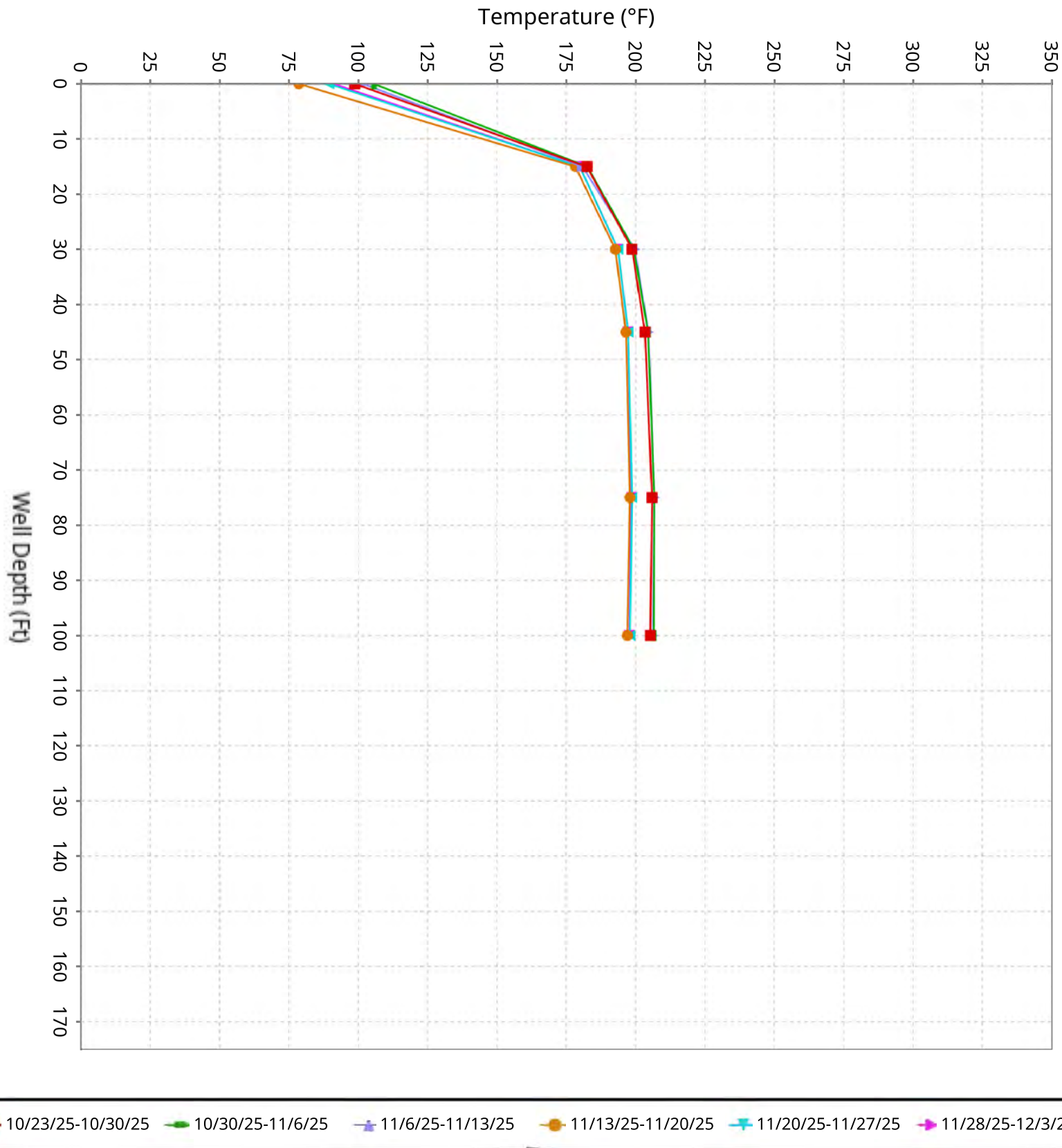
Maximum data for 10/23/2025 to 12/3/2025



■ 10/23/25-10/30/25 ■ 10/30/25-11/6/25 ■ 11/6/25-11/13/25 ■ 11/13/25-11/20/25 ■ 11/20/25-11/27/25 ■ 11/28/25-12/3/25

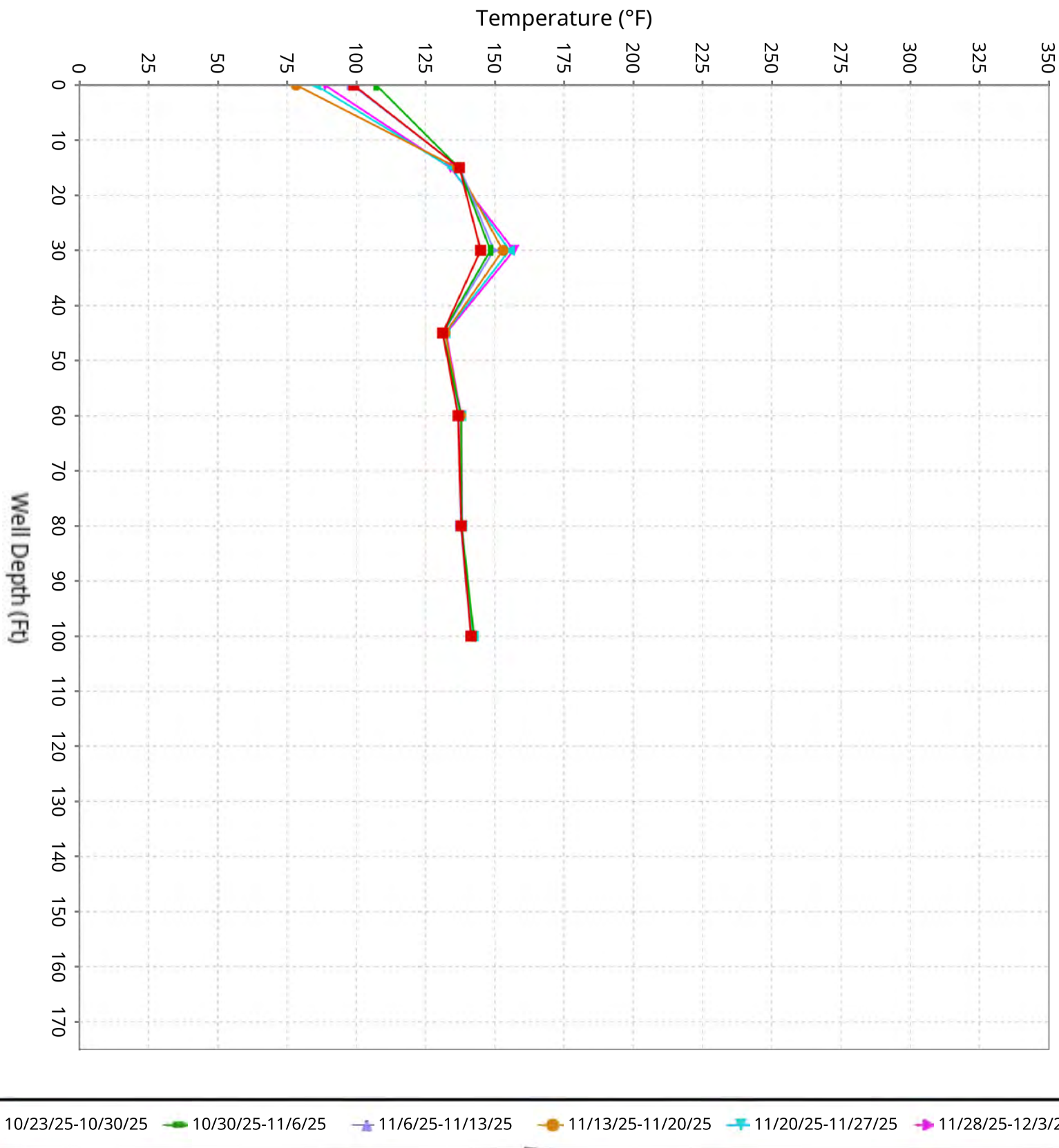
Vertical Temperature Profiles from Temperature Probes at Chiquita Landfill for TP-15

Maximum data for 10/23/2025 to 12/3/2025



Vertical Temperature Profiles from Temperature Probes at Chiquita Landfill for TP-16

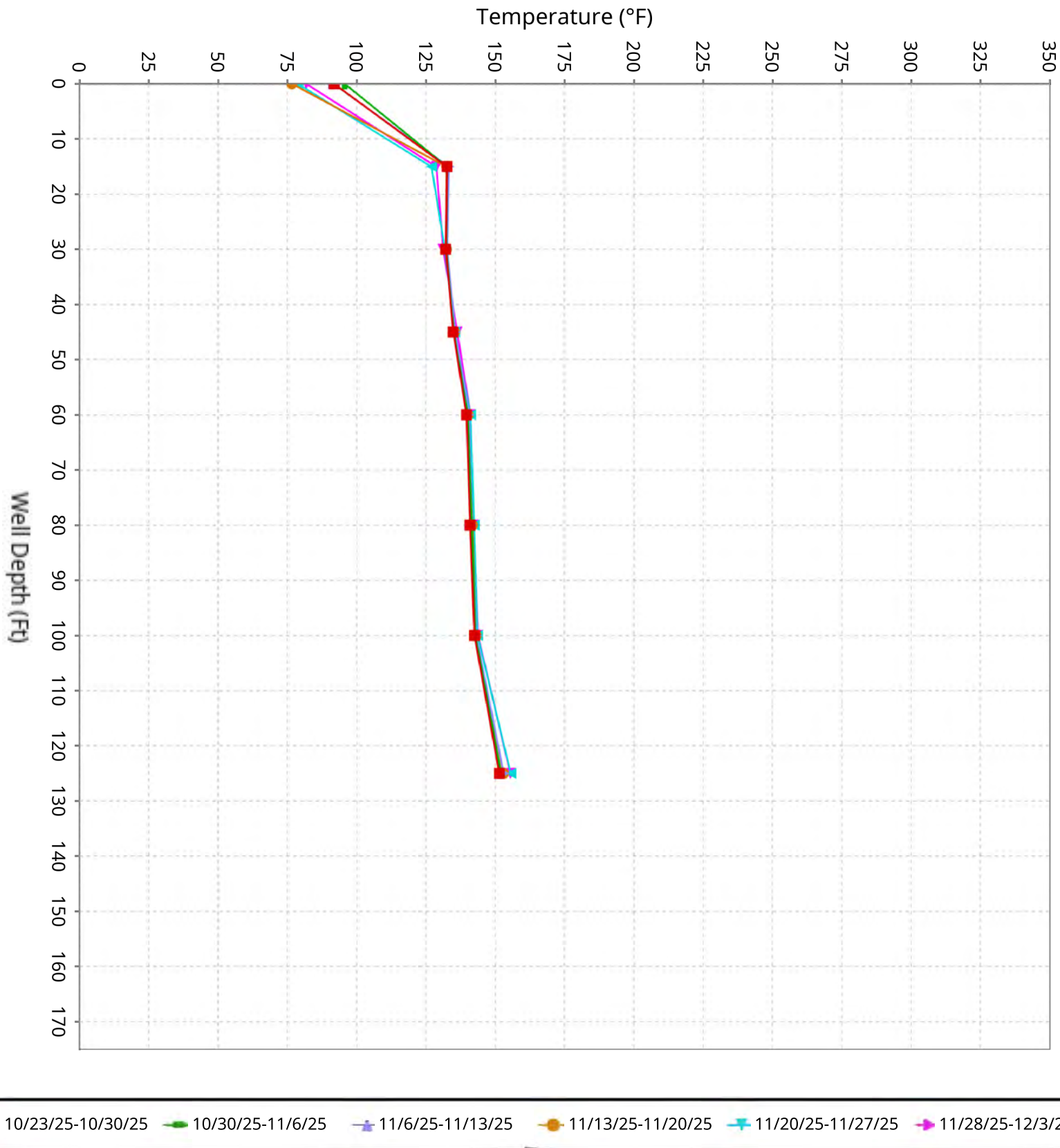
Maximum data for 10/23/2025 to 12/3/2025



■ 10/23/25-10/30/25 ■ 10/30/25-11/6/25 ■ 11/6/25-11/13/25 ■ 11/13/25-11/20/25 ■ 11/20/25-11/27/25 ■ 11/28/25-12/3/25

Vertical Temperature Profiles from Temperature Probes at Chiquita Landfill for TP-17

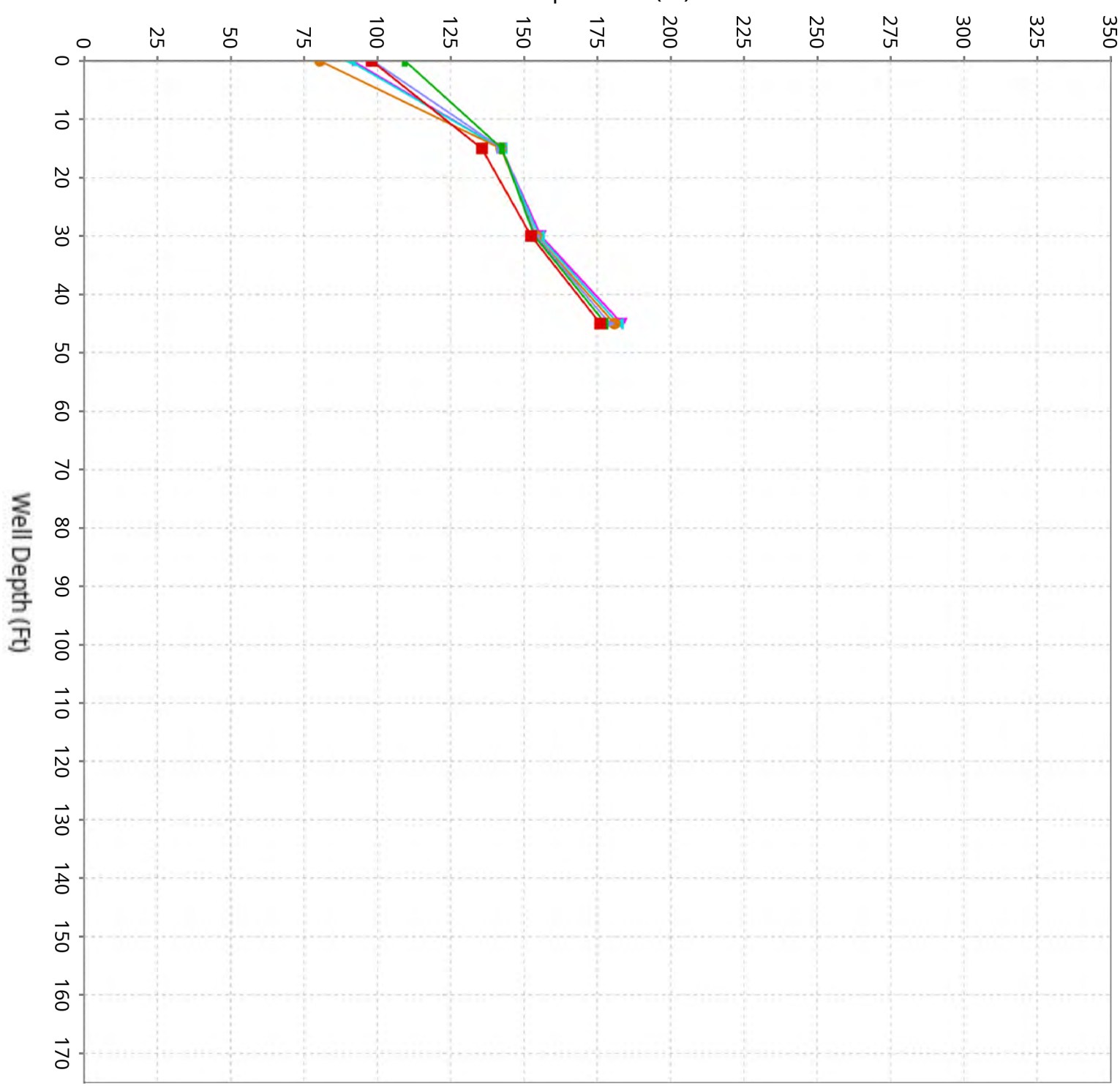
Maximum data for 10/23/2025 to 12/3/2025



Vertical Temperature Profiles from Temperature Probes at Chiquita Landfill for TP-18

Maximum data for 10/23/2025 to 12/3/2025

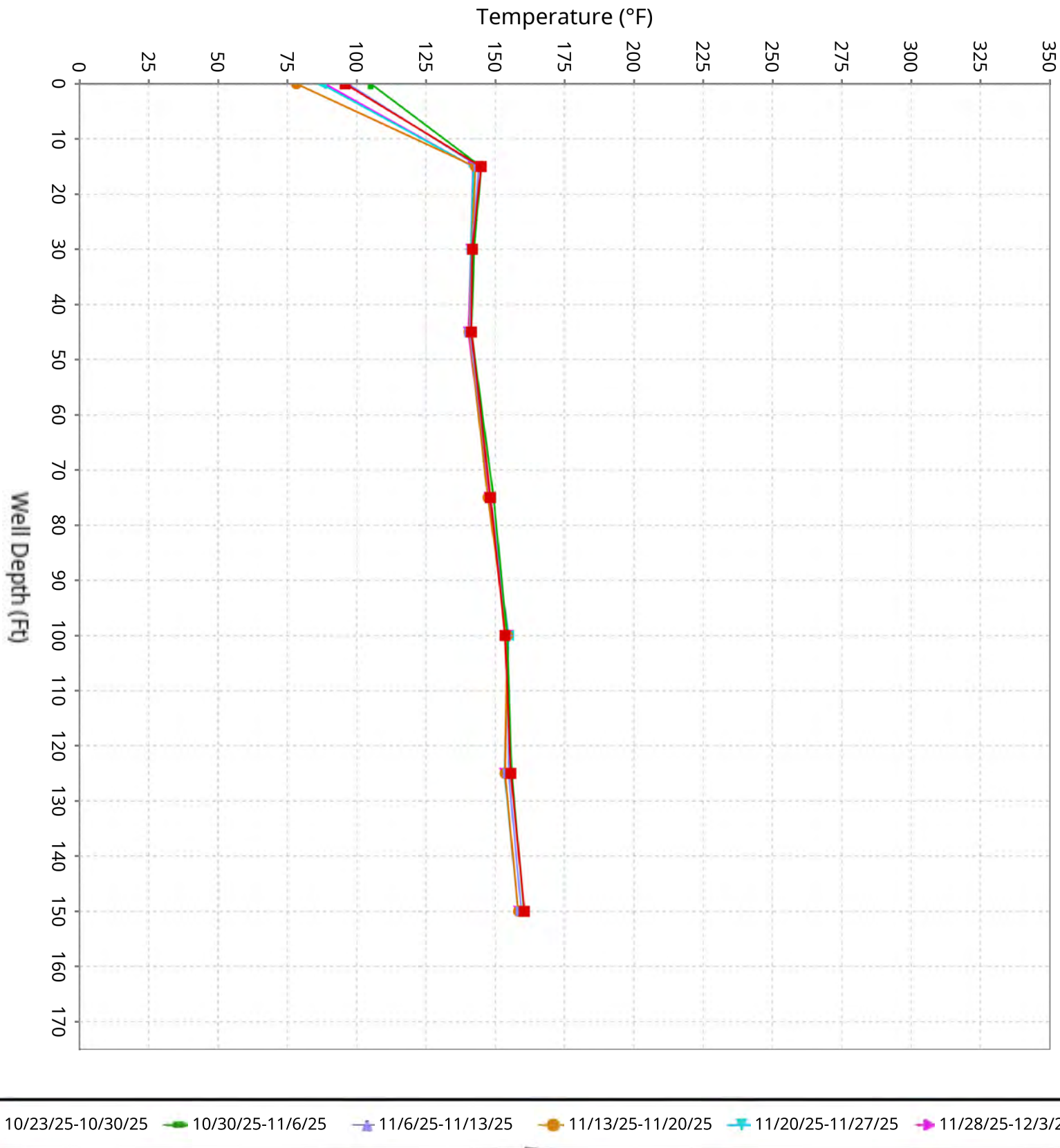
Temperature (°F)



■ 10/23/25-10/30/25 ■ 10/30/25-11/6/25 ■ 11/6/25-11/13/25 ■ 11/13/25-11/20/25 ■ 11/20/25-11/27/25 ■ 11/28/25-12/3/25

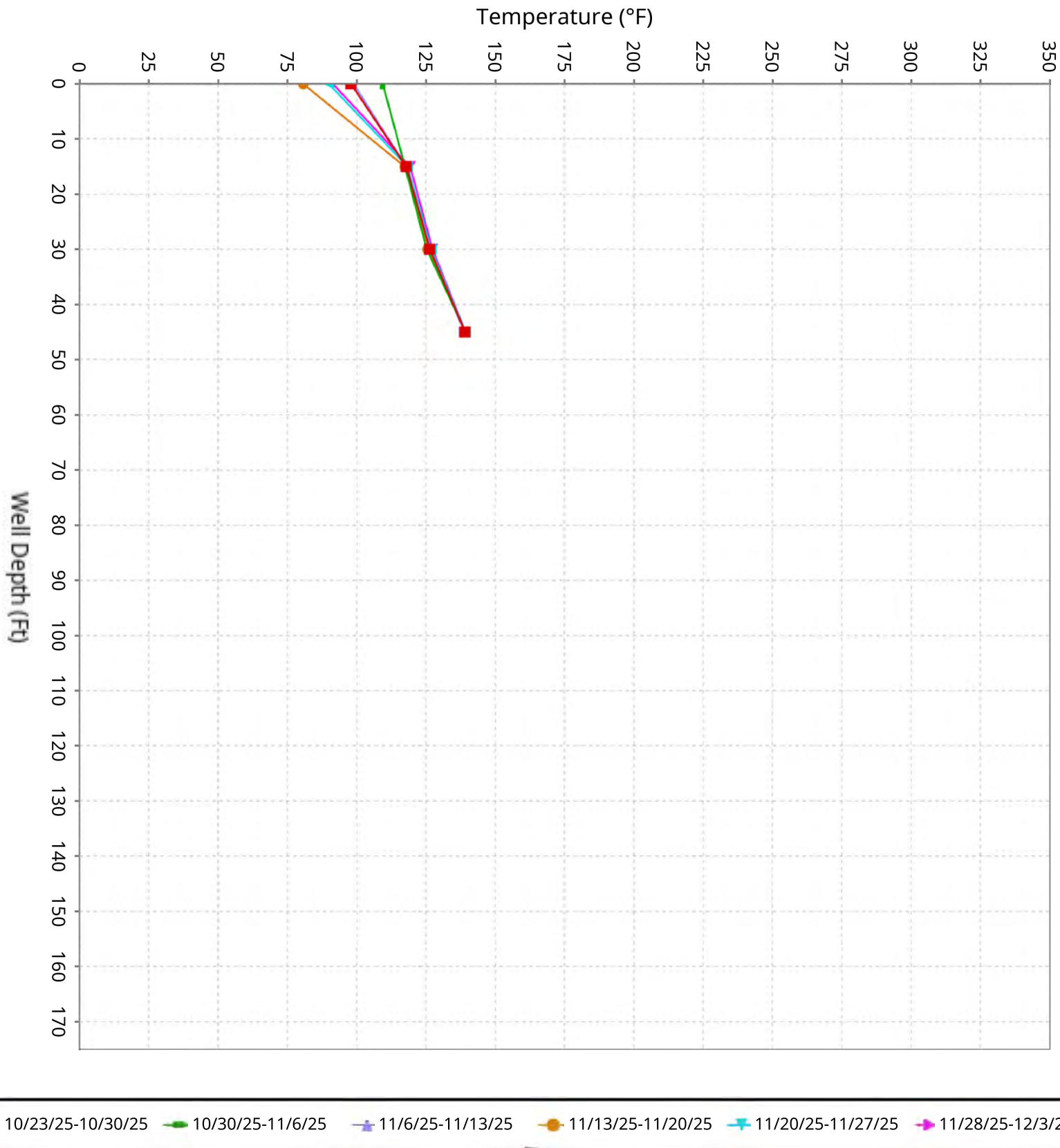
Vertical Temperature Profiles from Temperature Probes at Chiquita Landfill for TP-19

Maximum data for 10/23/2025 to 12/3/2025



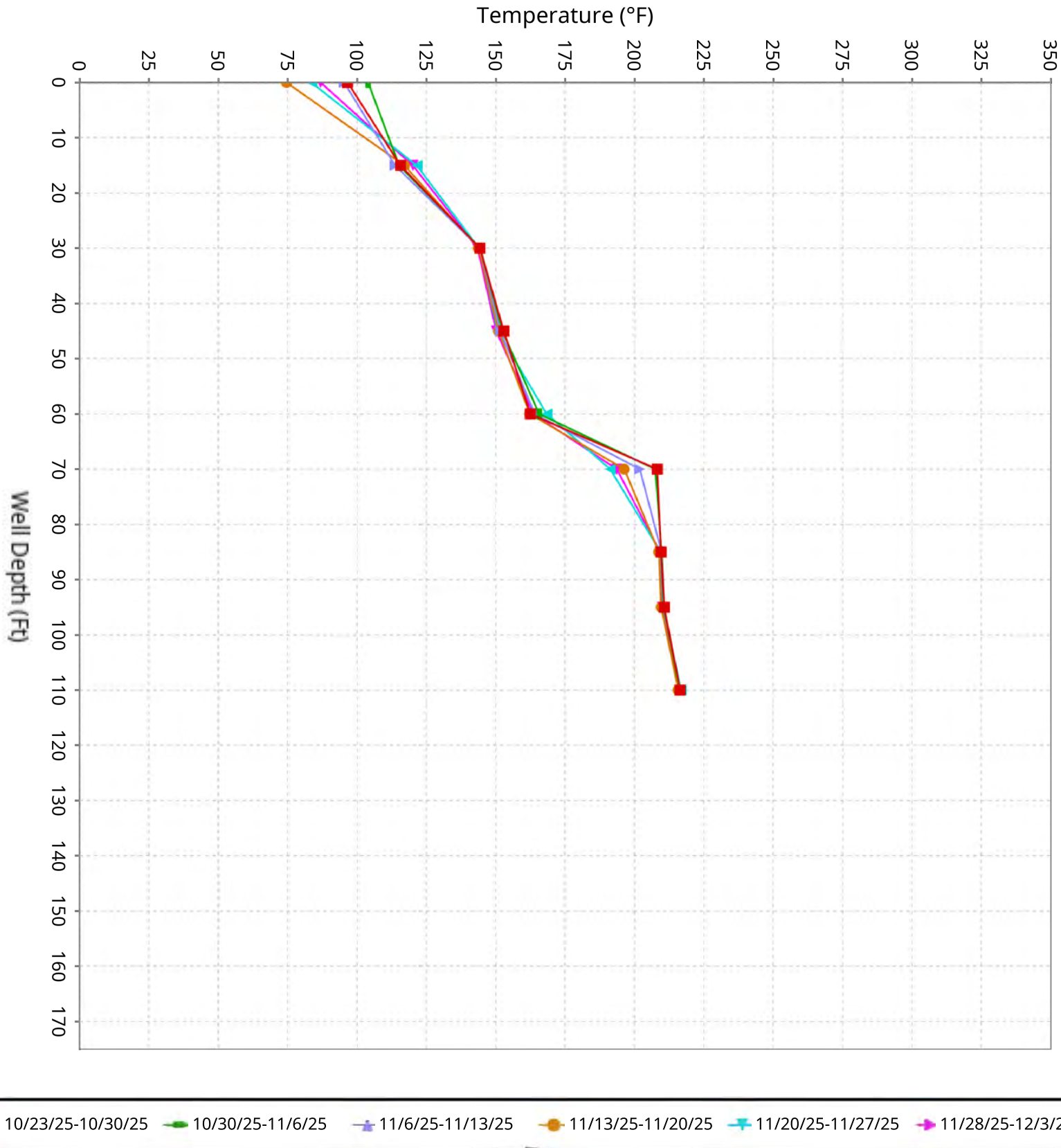
Vertical Temperature Profiles from Temperature Probes at Chiquita Landfill for TP-20

Maximum data for 10/23/2025 to 12/3/2025



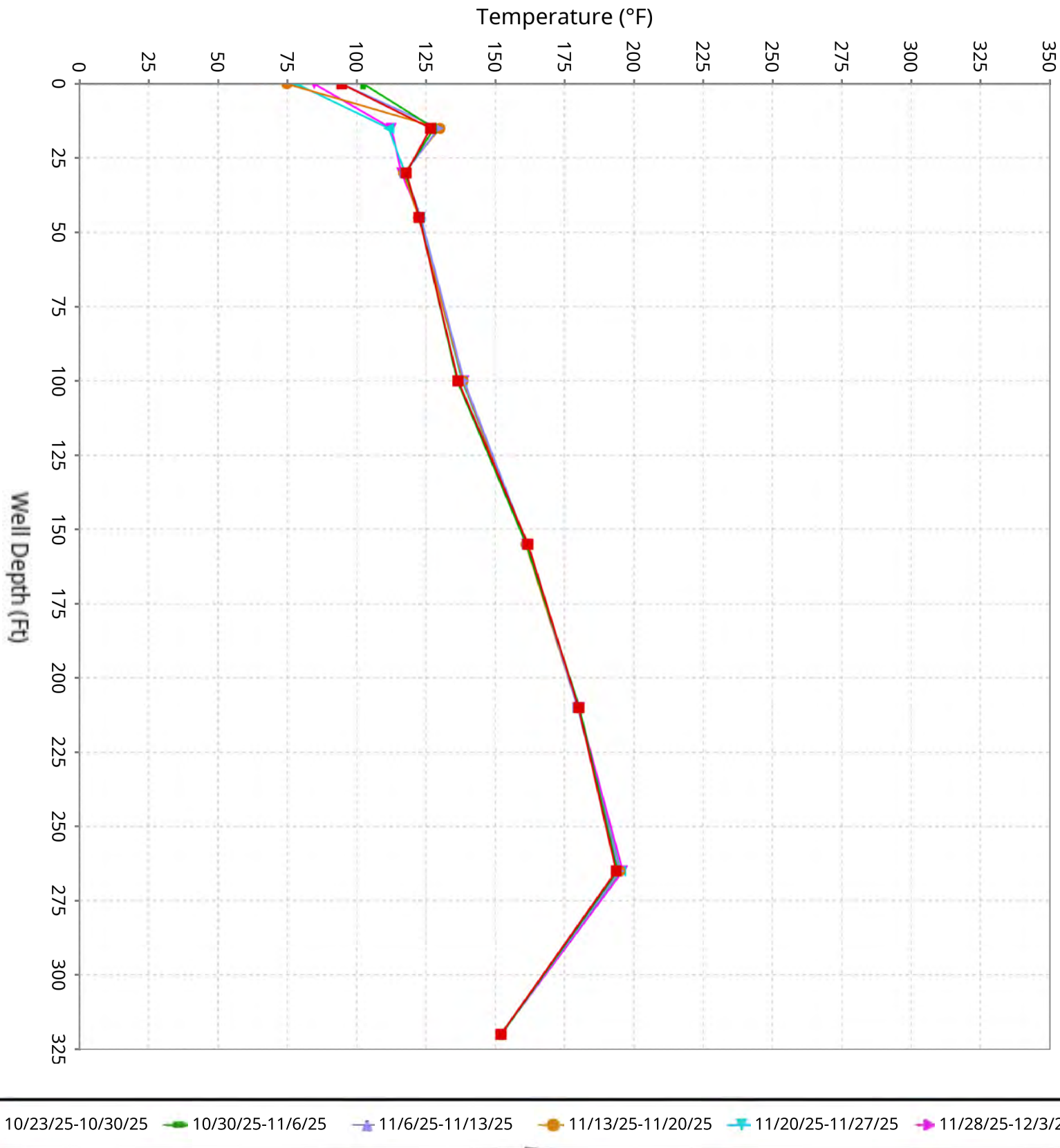
Vertical Temperature Profiles from Temperature Probes at Chiquita Landfill for TP-21

Maximum data for 10/23/2025 to 12/3/2025



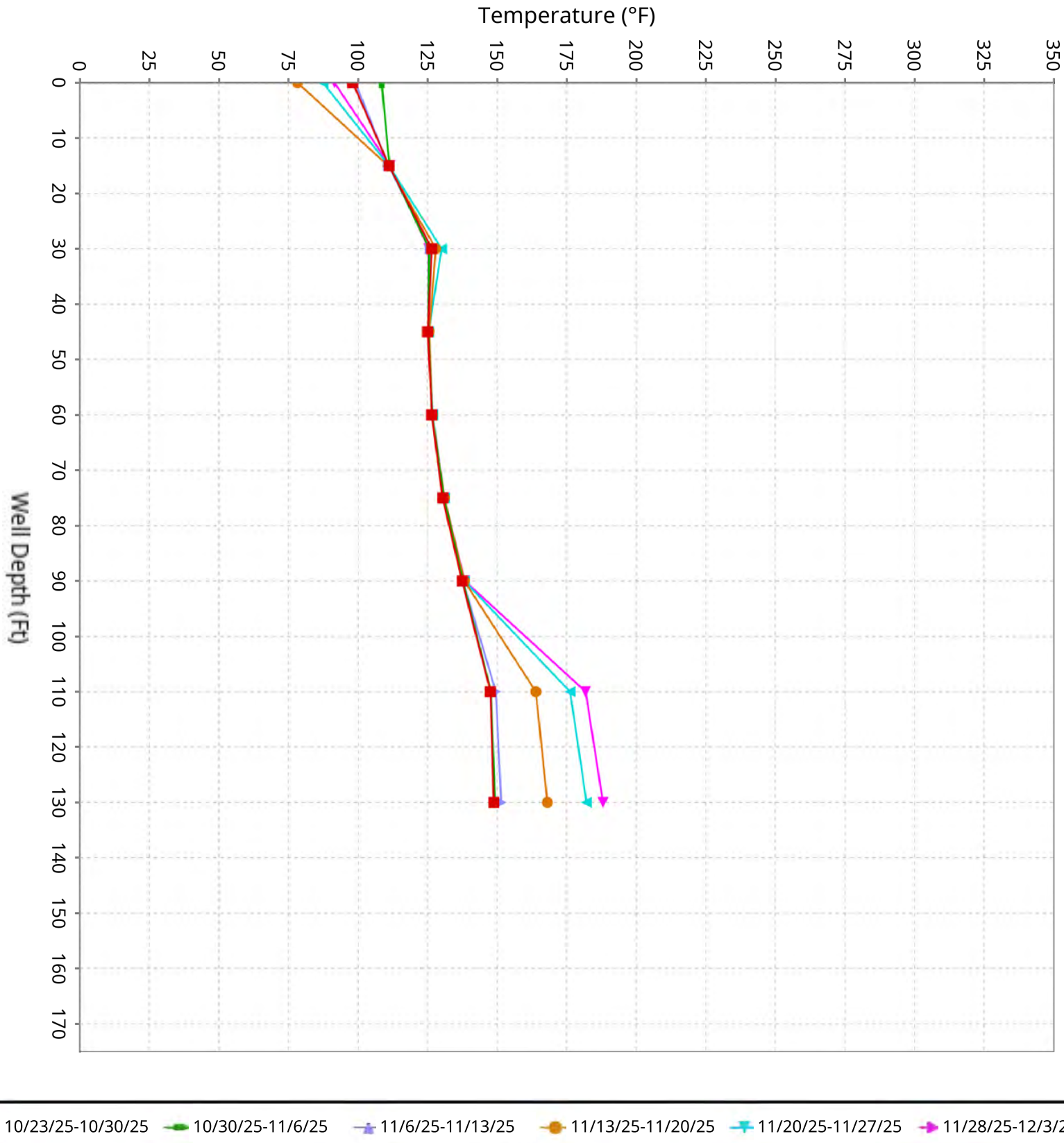
Vertical Temperature Profiles from Temperature Probes at Chiquita Landfill for TP-24

Maximum data for 10/23/2025 to 12/3/2025



Vertical Temperature Profiles from Temperature Probes at Chiquita Landfill for TP-25

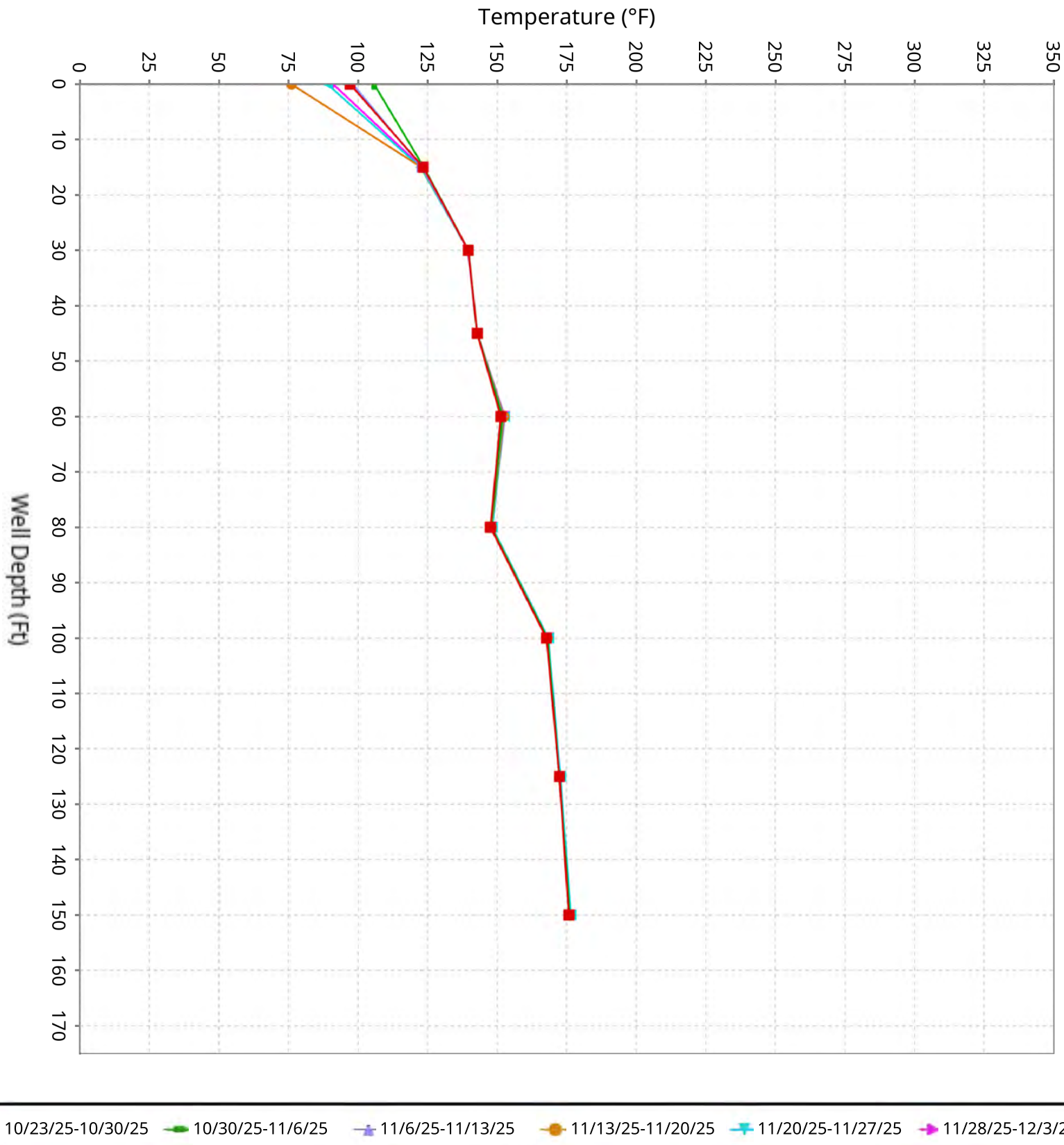
Maximum data for 10/23/2025 to 12/3/2025



■ 10/23/25-10/30/25 ■ 10/30/25-11/6/25 ■ 11/6/25-11/13/25 ■ 11/13/25-11/20/25 ■ 11/20/25-11/27/25 ■ 11/28/25-12/3/25

Vertical Temperature Profiles from Temperature Probes at Chiquita Landfill for TP-26

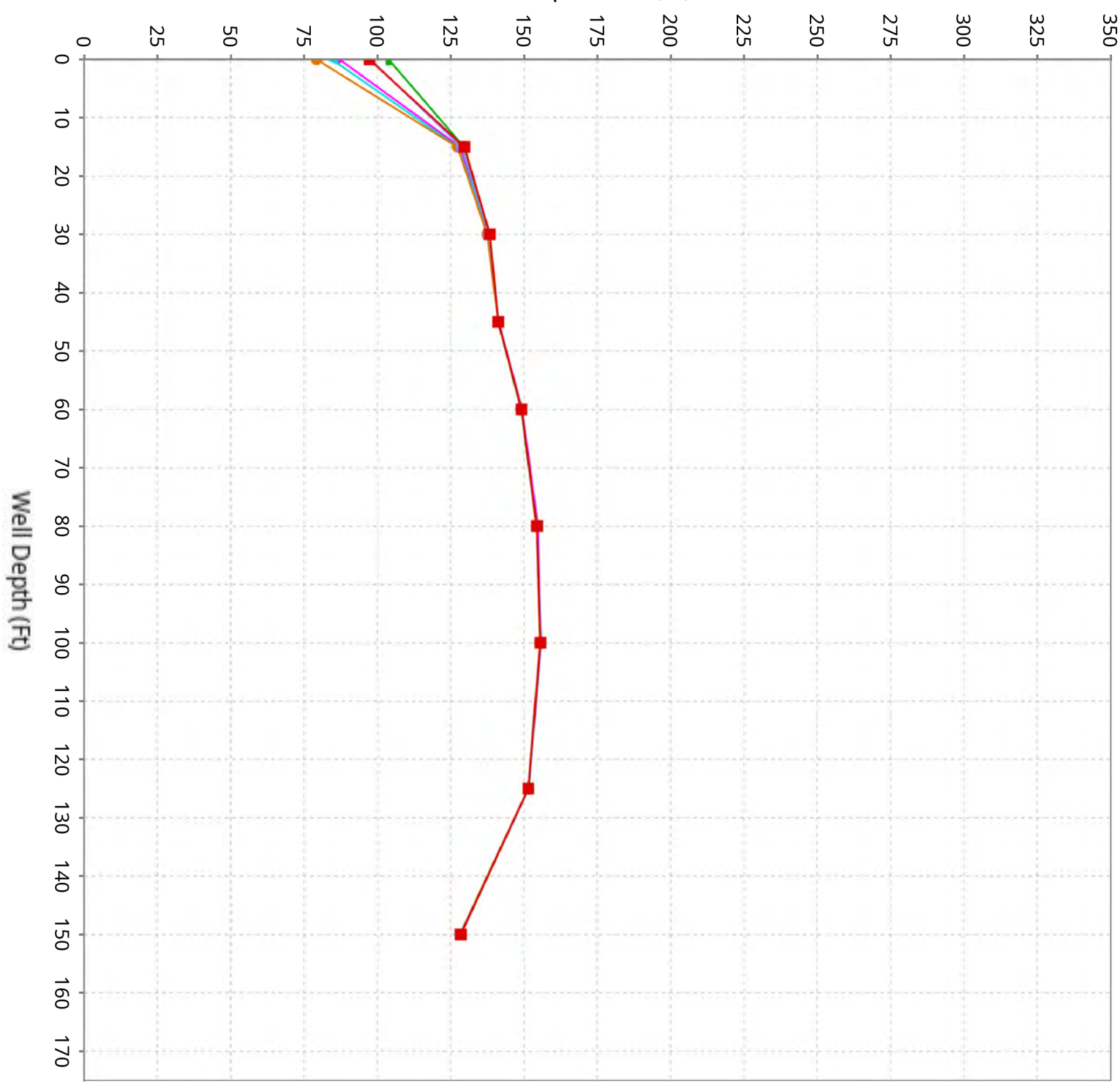
Maximum data for 10/23/2025 to 12/3/2025



Vertical Temperature Profiles from Temperature Probes at Chiquita Landfill for TP-27

Maximum data for 10/23/2025 to 12/3/2025

Temperature (°F)

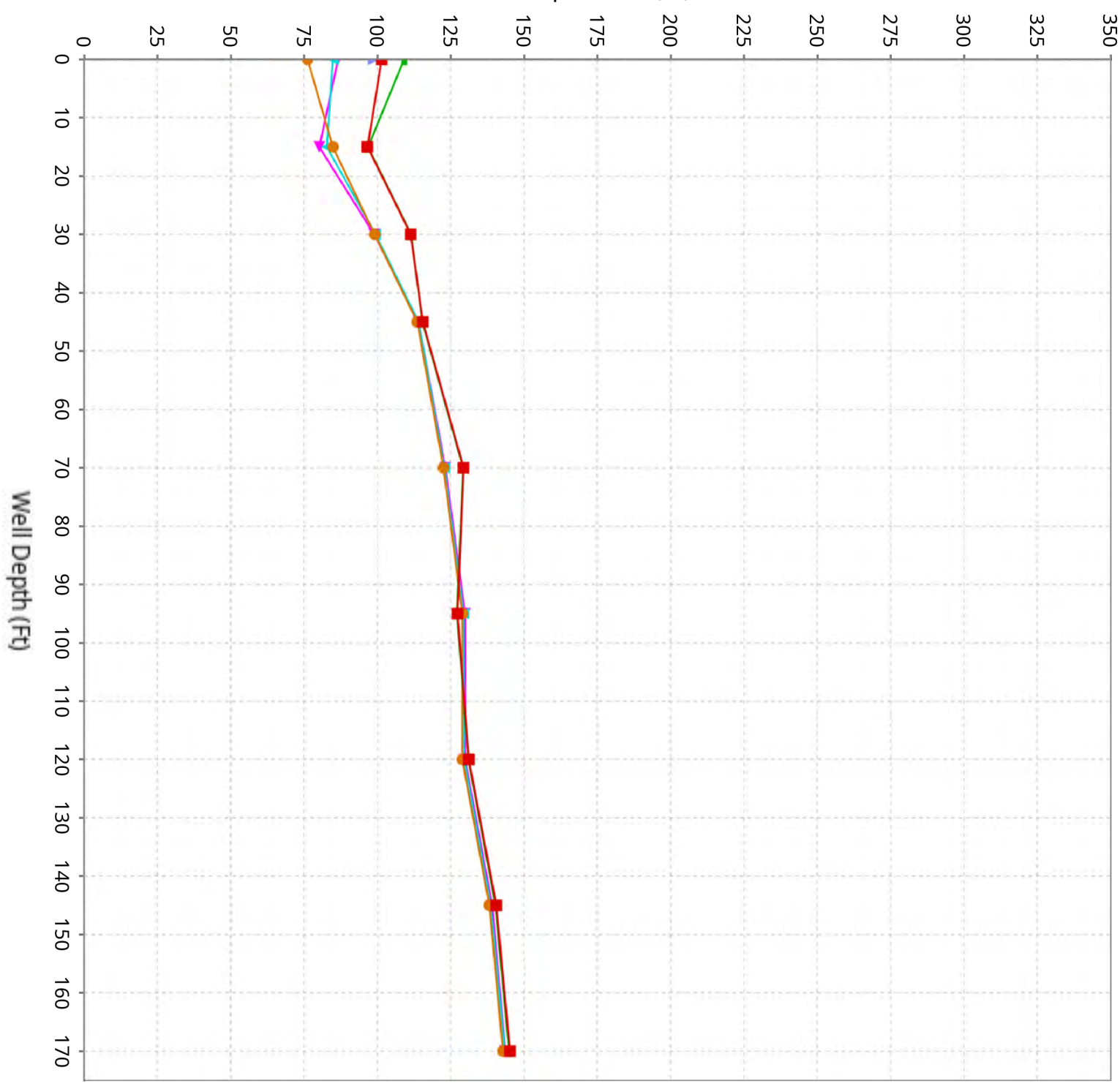


■ 10/23/25-10/30/25 ■ 10/30/25-11/6/25 ■ 11/6/25-11/13/25 ■ 11/13/25-11/20/25 ■ 11/20/25-11/27/25 ■ 11/28/25-12/3/25

Vertical Temperature Profiles from Temperature Probes at Chiquita Landfill for TP-28

Maximum data for 10/23/2025 to 12/3/2025

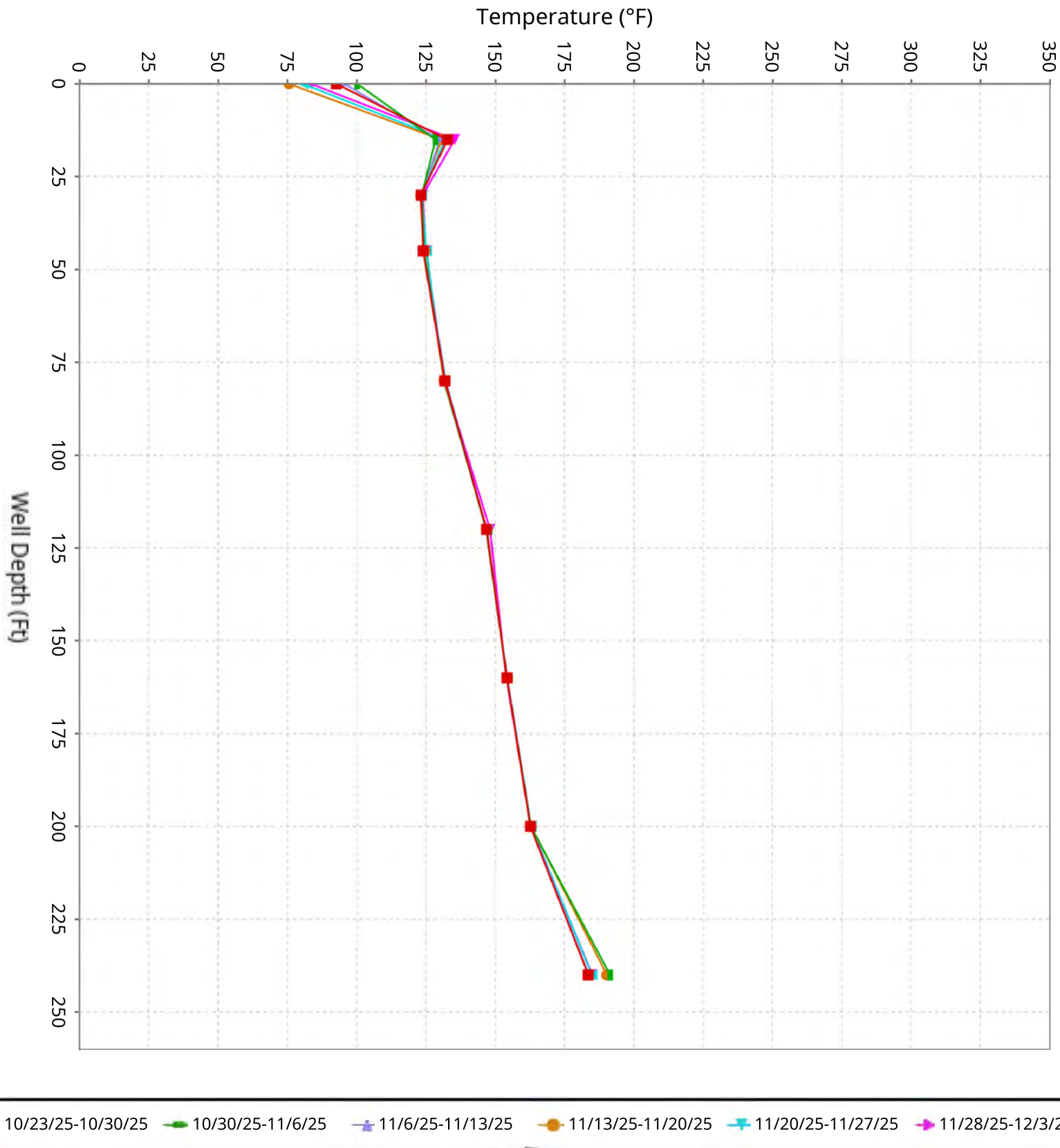
Temperature (°F)



■ 10/23/25-10/30/25 ■ 10/30/25-11/6/25 ■ 11/6/25-11/13/25 ■ 11/13/25-11/20/25 ■ 11/20/25-11/27/25 ■ 11/28/25-12/3/25

Vertical Temperature Profiles from Temperature Probes at Chiquita Landfill for TP-29

Maximum data for 10/23/2025 to 12/3/2025

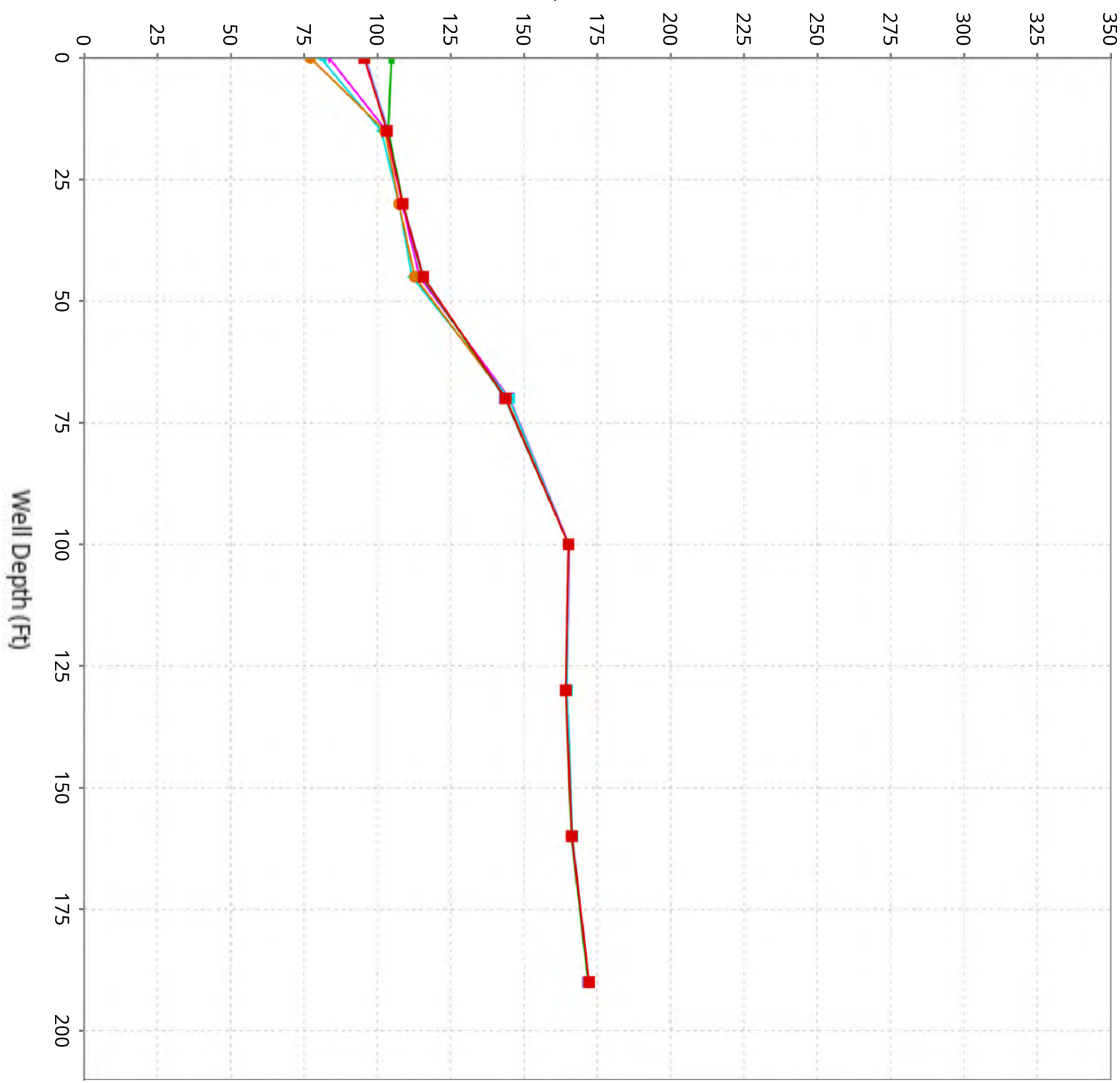


■ 10/23/25-10/30/25 ■ 10/30/25-11/6/25 ■ 11/6/25-11/13/25 ■ 11/13/25-11/20/25 ■ 11/20/25-11/27/25 ■ 11/28/25-12/3/25

Vertical Temperature Profiles from Temperature Probes at Chiquita Landfill for TP-30

Maximum data for 10/23/2025 to 12/3/2025

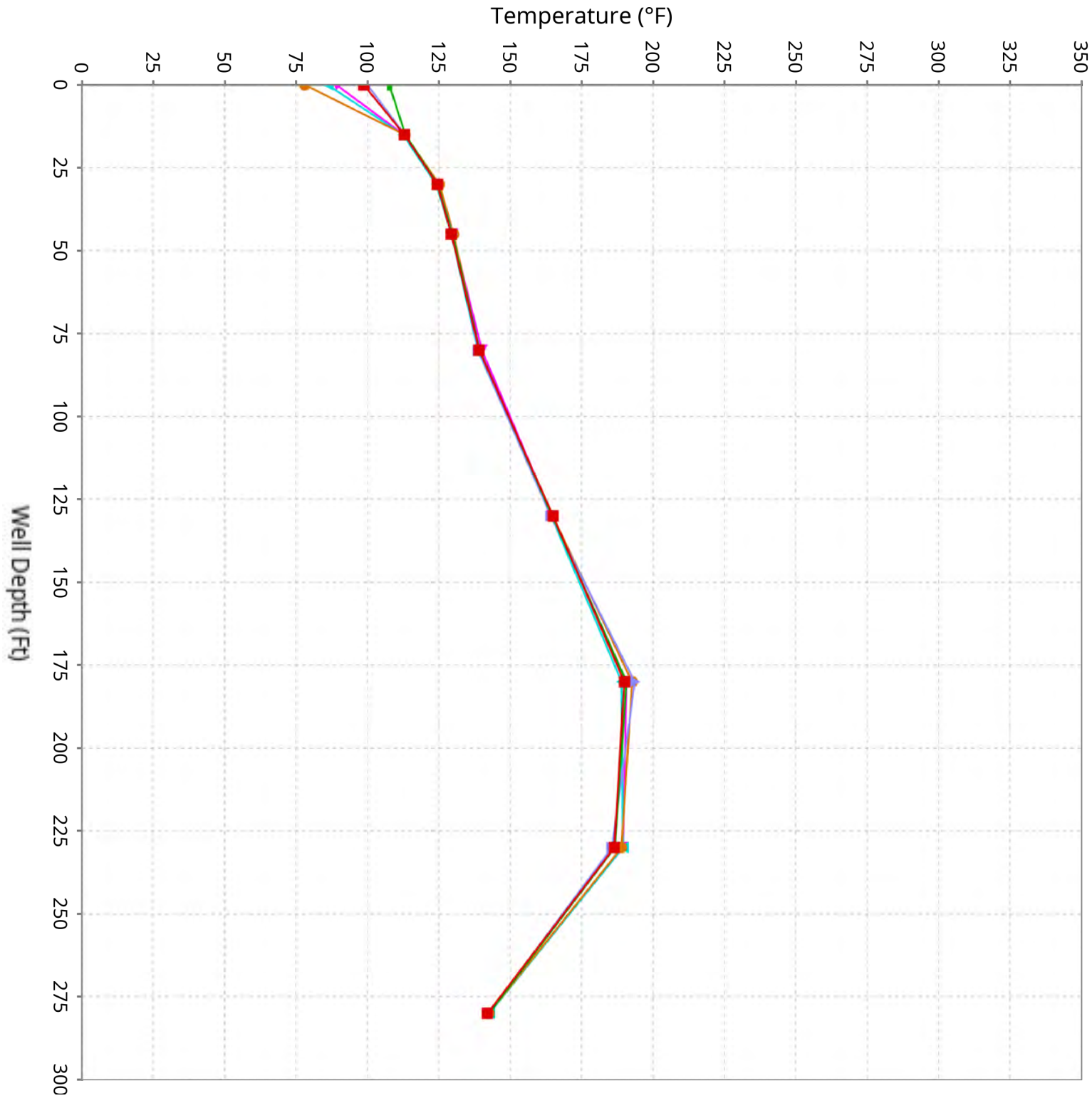
Temperature (°F)



■ 10/23/25-10/30/25 ■ 10/30/25-11/6/25 ■ 11/6/25-11/13/25 ■ 11/13/25-11/20/25 ■ 11/20/25-11/27/25 ■ 11/28/25-12/3/25

Vertical Temperature Profiles from Temperature Probes at Chiquita Landfill for TP-31

Maximum data for 10/23/2025 to 12/3/2025

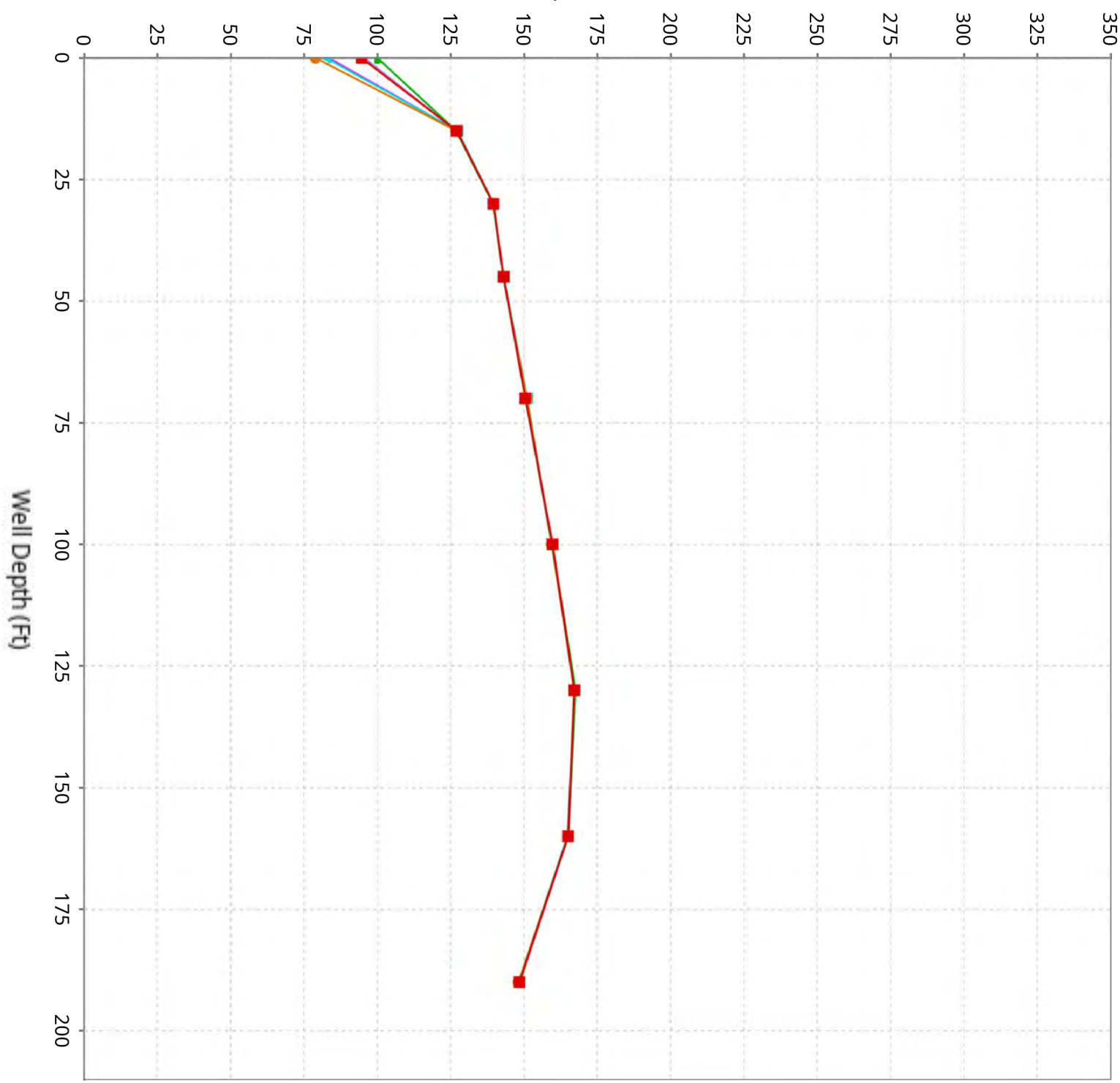


■ 10/23/25-10/30/25 ■ 10/30/25-11/6/25 ■ 11/6/25-11/13/25 ■ 11/13/25-11/20/25 ■ 11/20/25-11/27/25 ■ 11/28/25-12/3/25

Vertical Temperature Profiles from Temperature Probes at Chiquita Landfill for TP-32

Maximum data for 10/23/2025 to 12/3/2025

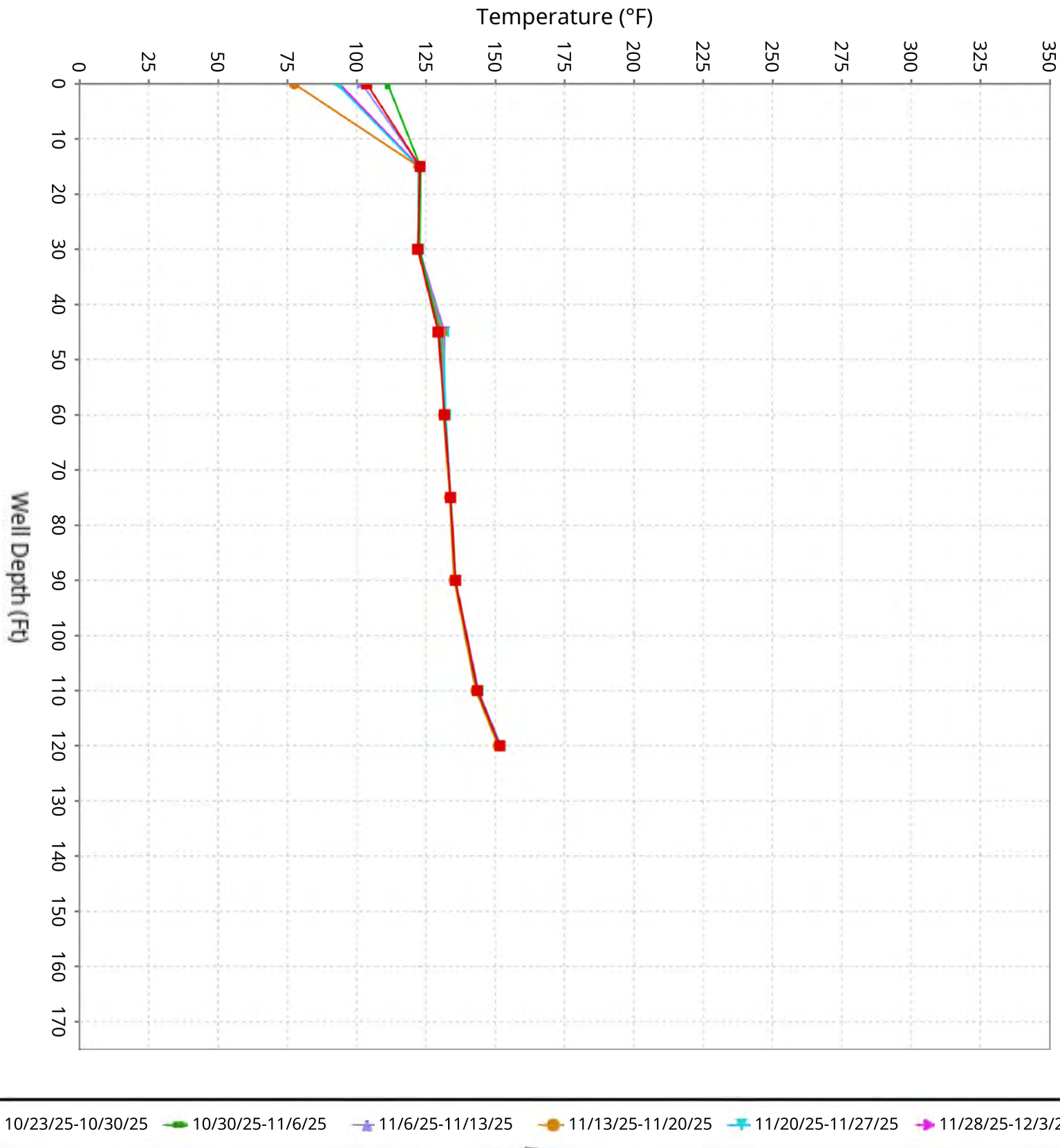
Temperature (°F)



■ 10/23/25-10/30/25 ■ 10/30/25-11/6/25 ■ 11/6/25-11/13/25 ■ 11/13/25-11/20/25 ■ 11/20/25-11/27/25 ■ 11/28/25-12/3/25

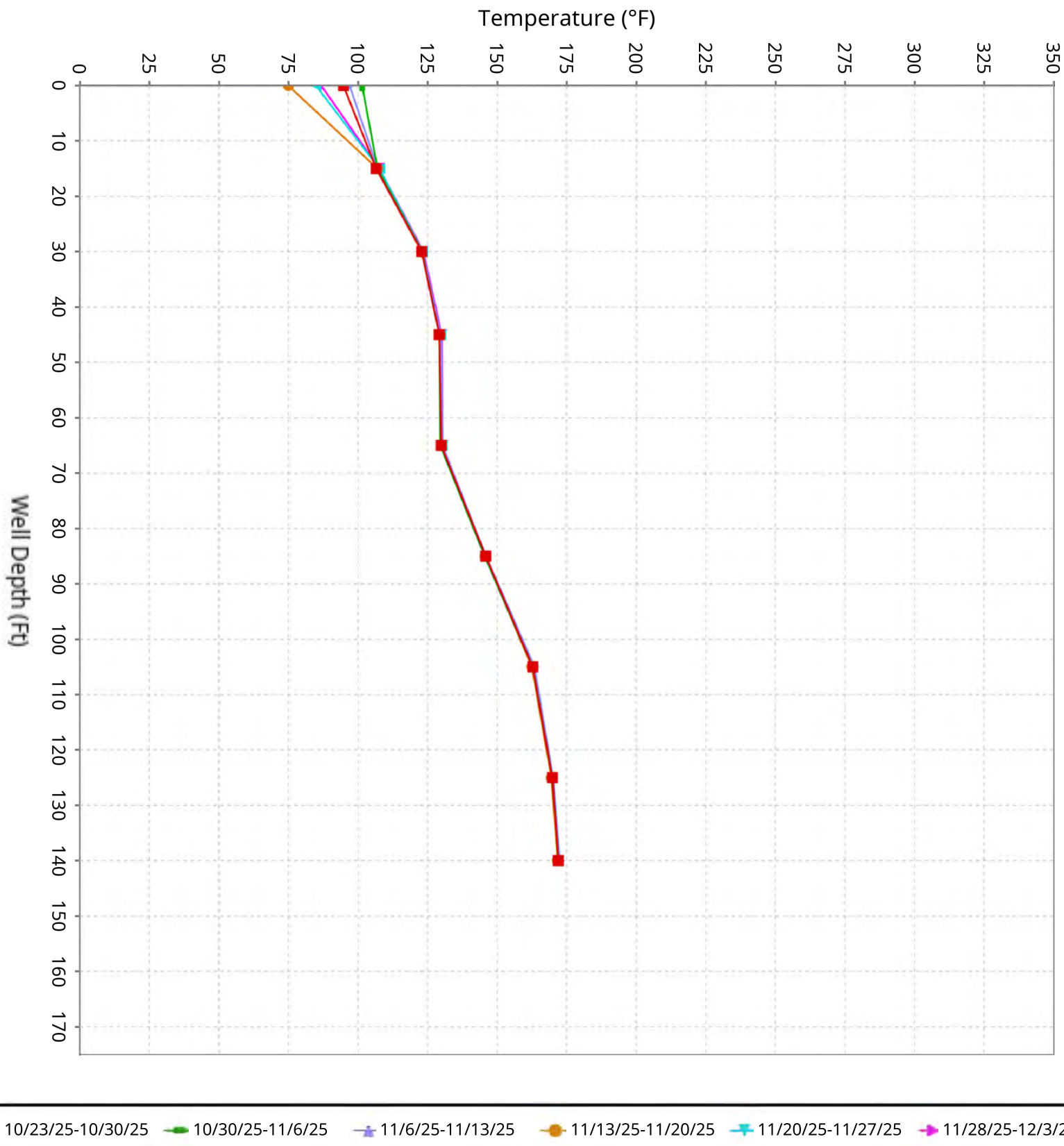
Vertical Temperature Profiles from Temperature Probes at Chiquita Landfill for TP-34

Maximum data for 10/23/2025 to 12/3/2025

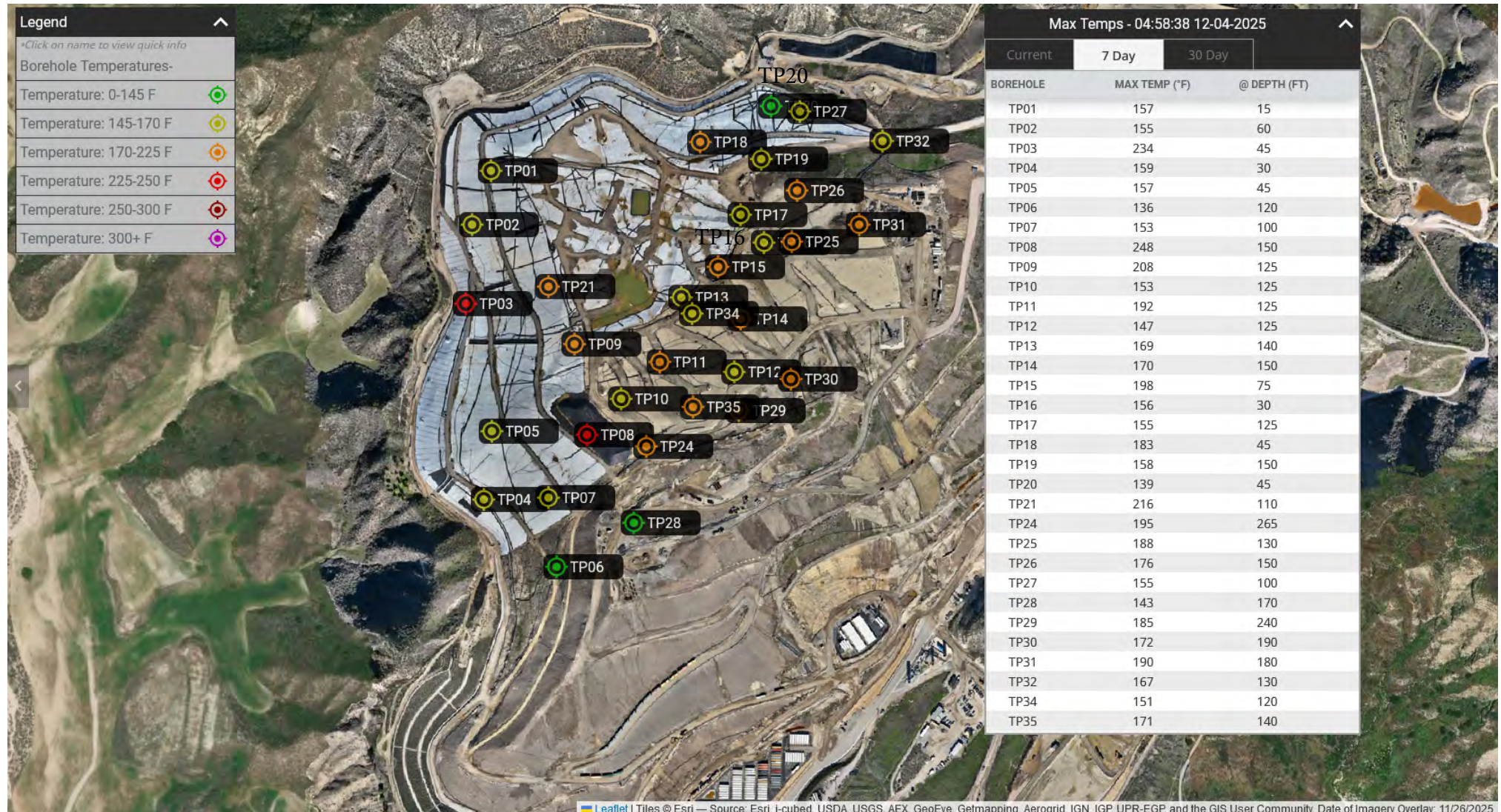


Vertical Temperature Profiles from Temperature Probes at Chiquita Landfill for TP-35

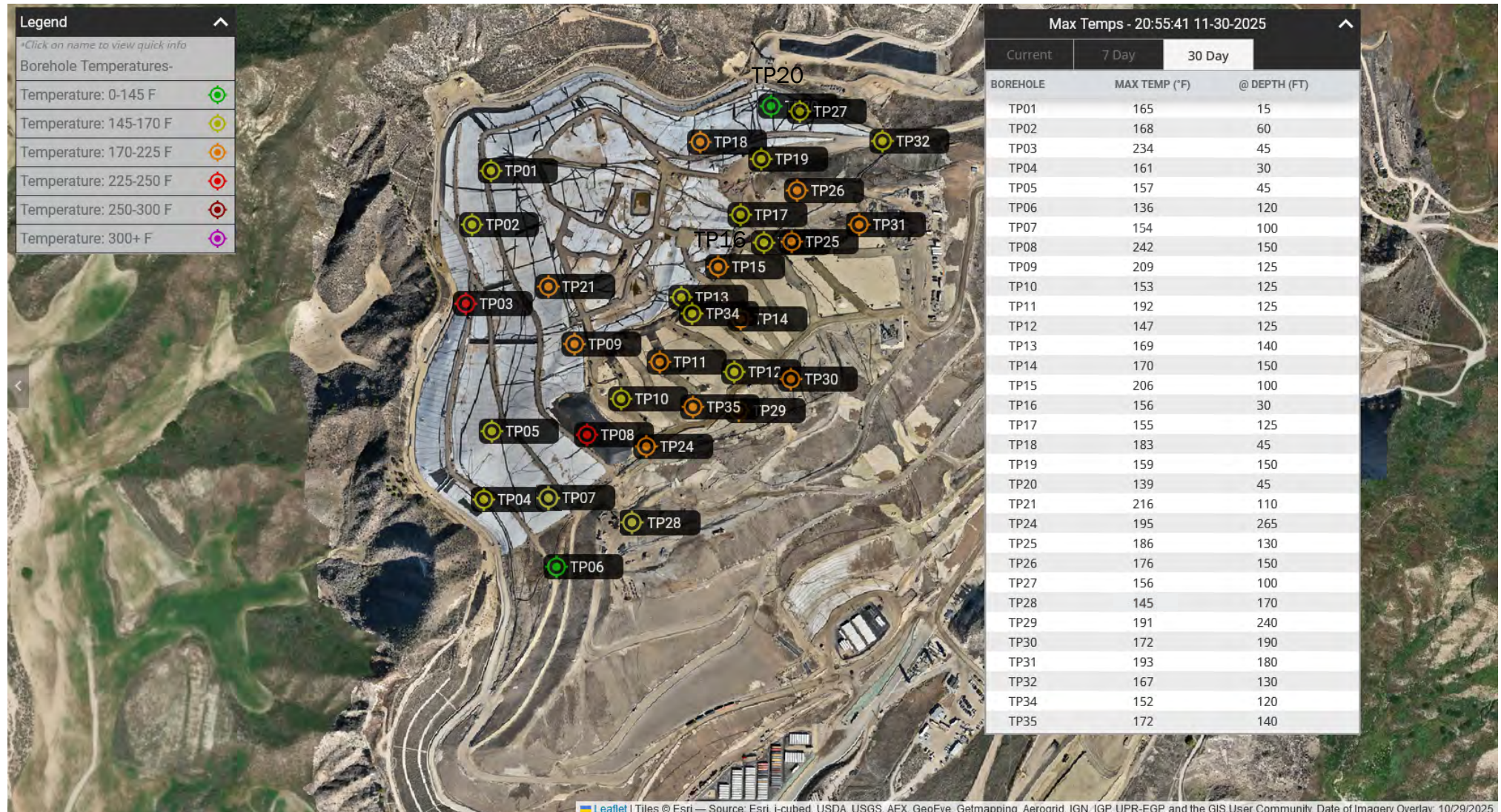
Maximum data for 10/23/2025 to 12/3/2025

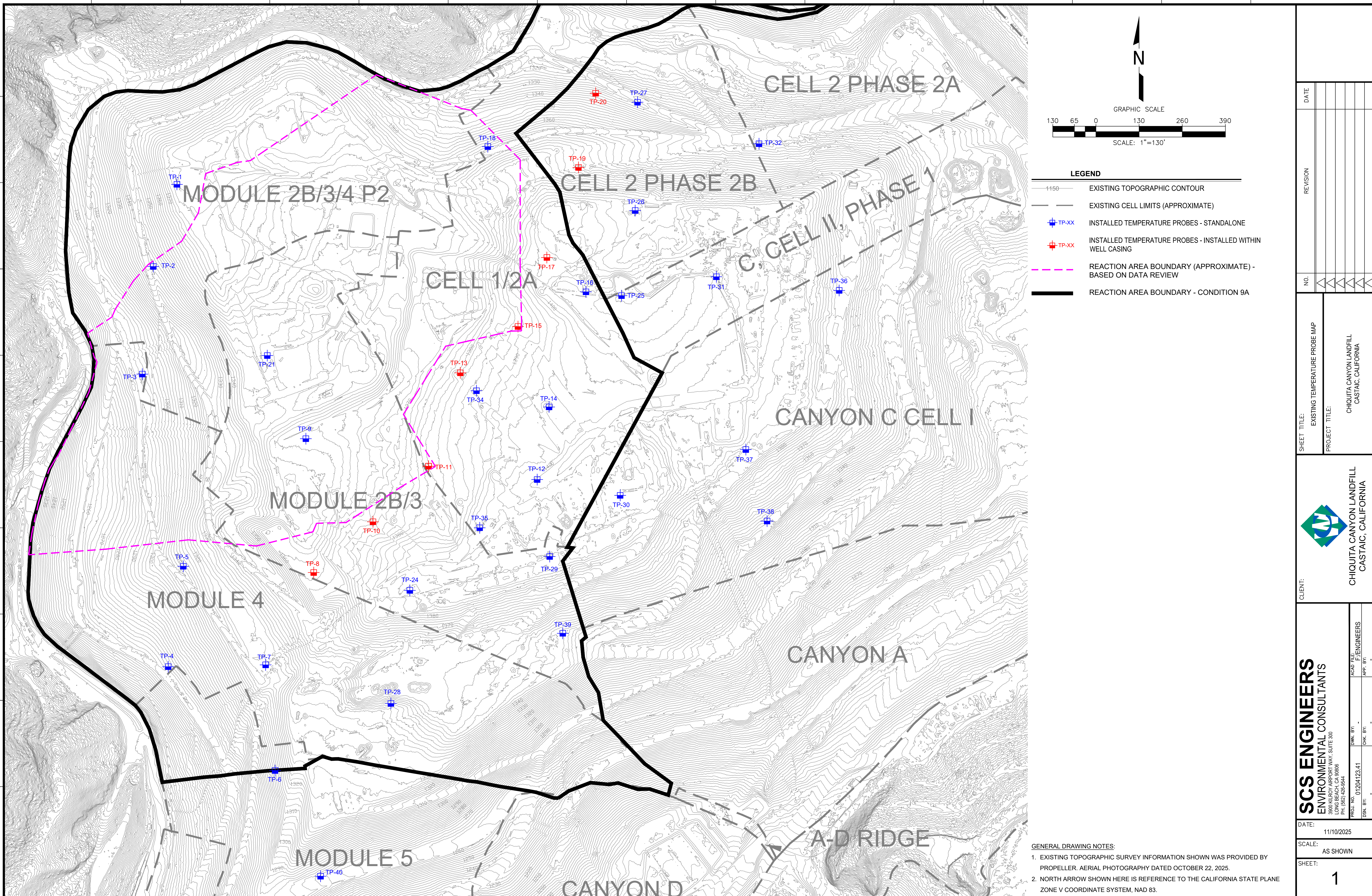


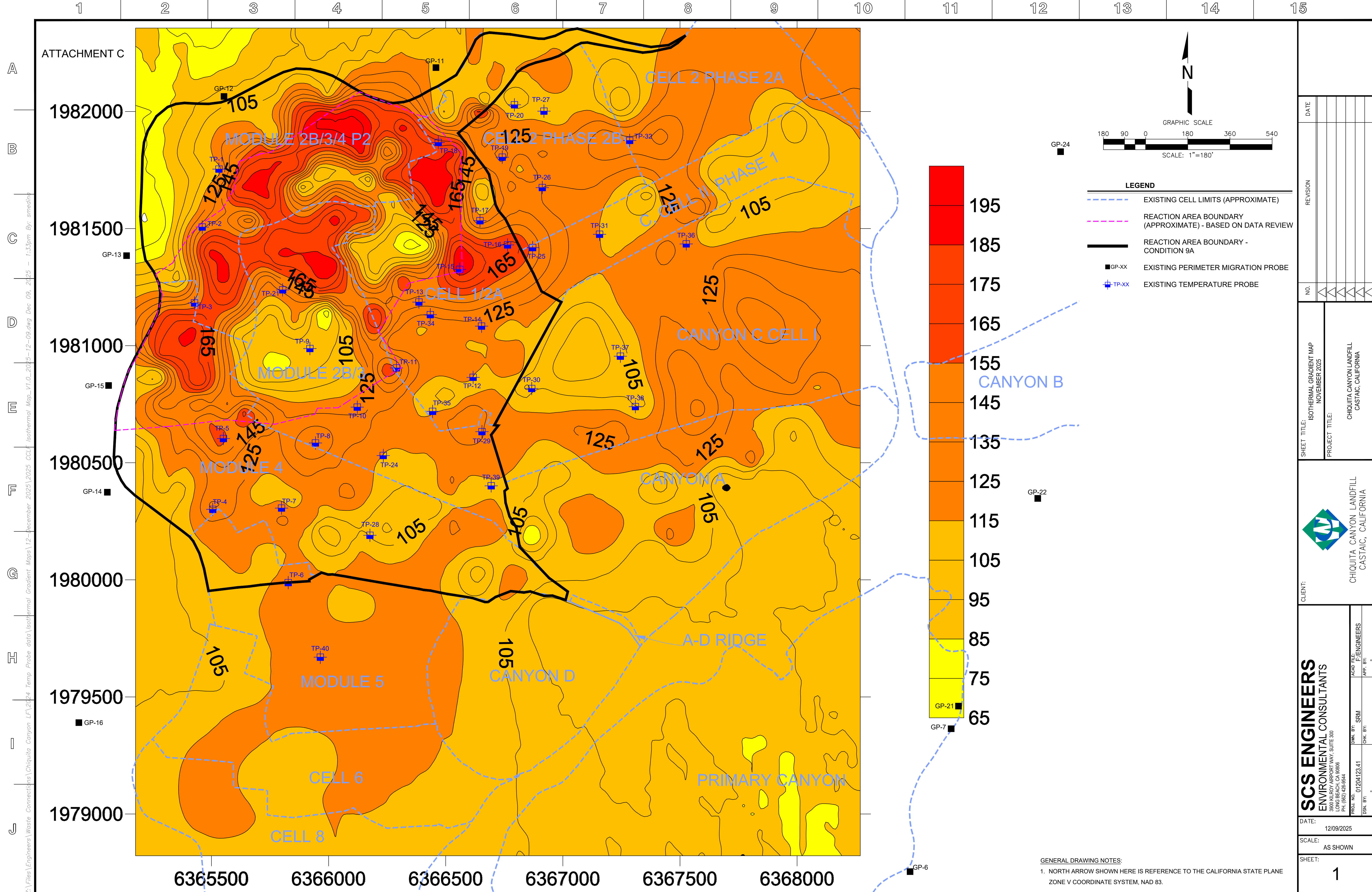
Maximum Vertical Temperature Map from Temperature Probes at Chiquita Landfill

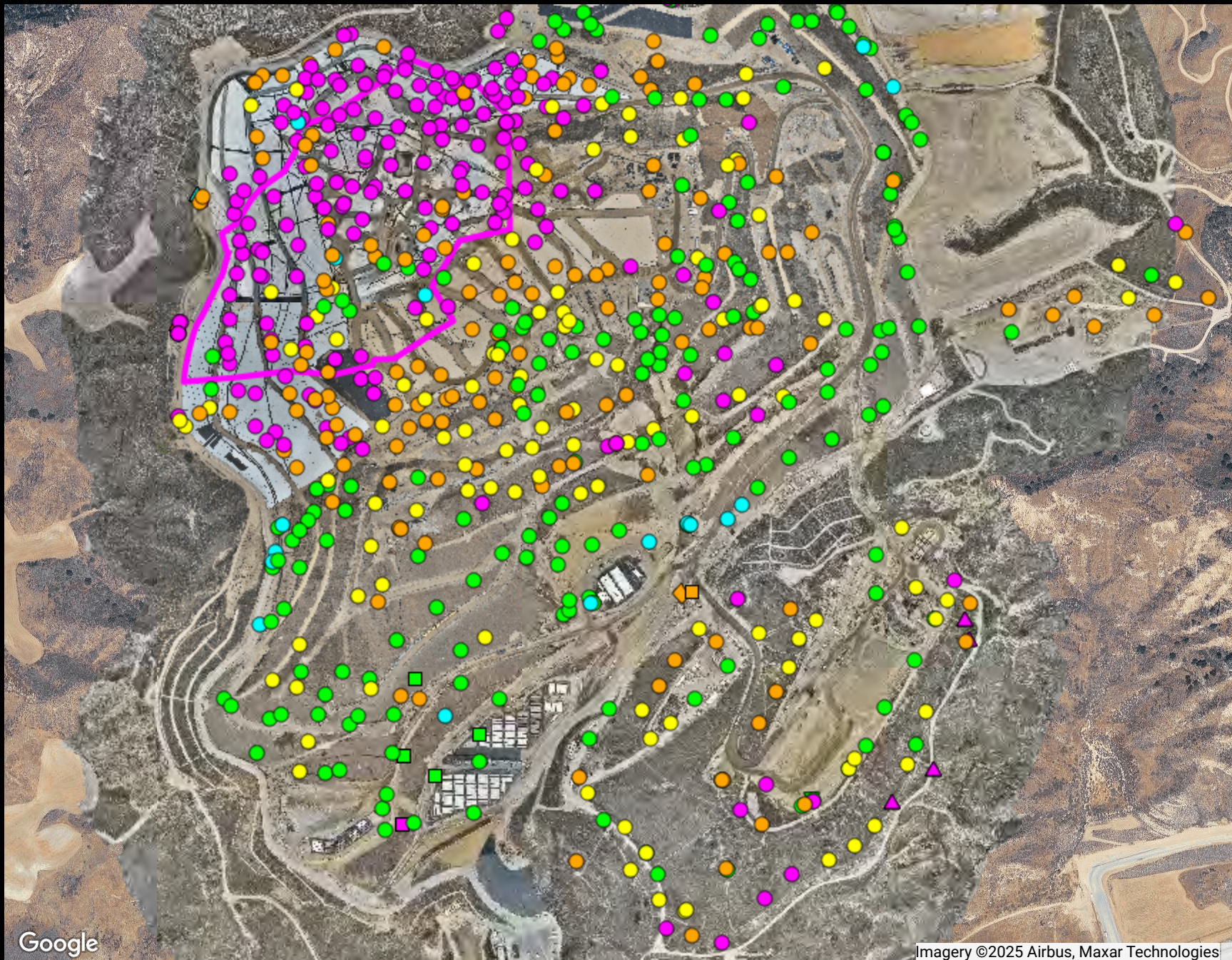


Thirty Day Maximum Vertical Temperature Map from Temperature Probes at Chiquita Landfill









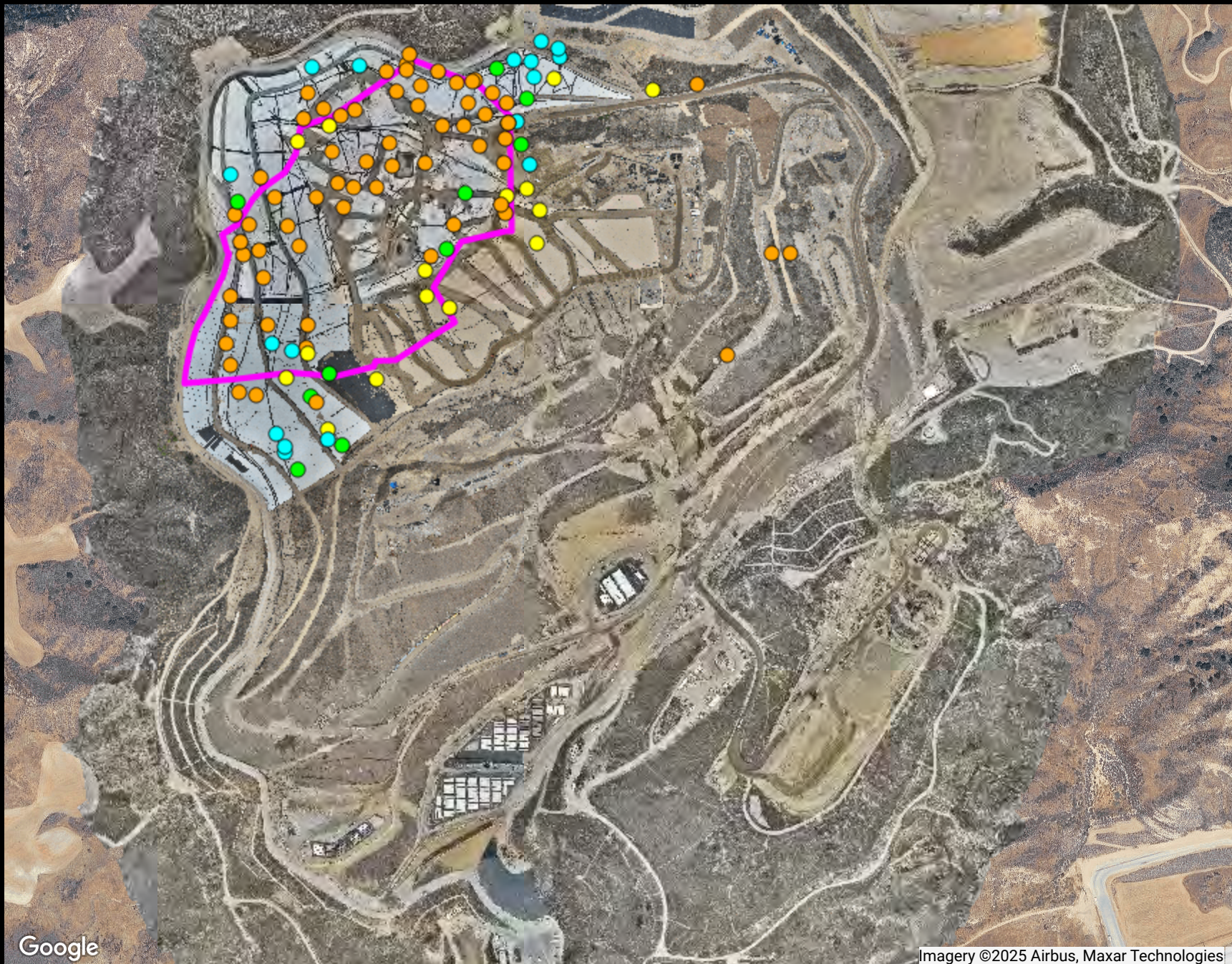
ATTACHMENT D

Chiquita Canyon Landfill Range Map Parameter: CH4/CO2 Ratio (high range) Analysis Method: Average

Date Range: 11/01/2025 - 11/30/2025

Map generation date : 12/10/2025





Ranges Mapped

			# Points
cyan	≥ 0 and < 20000		19
green	≥ 20000 and < 50000		10
yellow	≥ 50000 and < 100000		16
orange	≥ 100000 and < 999999		64

The range values noted above are in units of parts per million (ppm). Divide by 10,000 to convert these values to units of percent by volume.

Point Type Legend

- calibration record
- flare-engine-ghg
- monitoring probe
- sample port
- well

ATTACHMENT E

Chiquita Canyon Landfill

Range Map

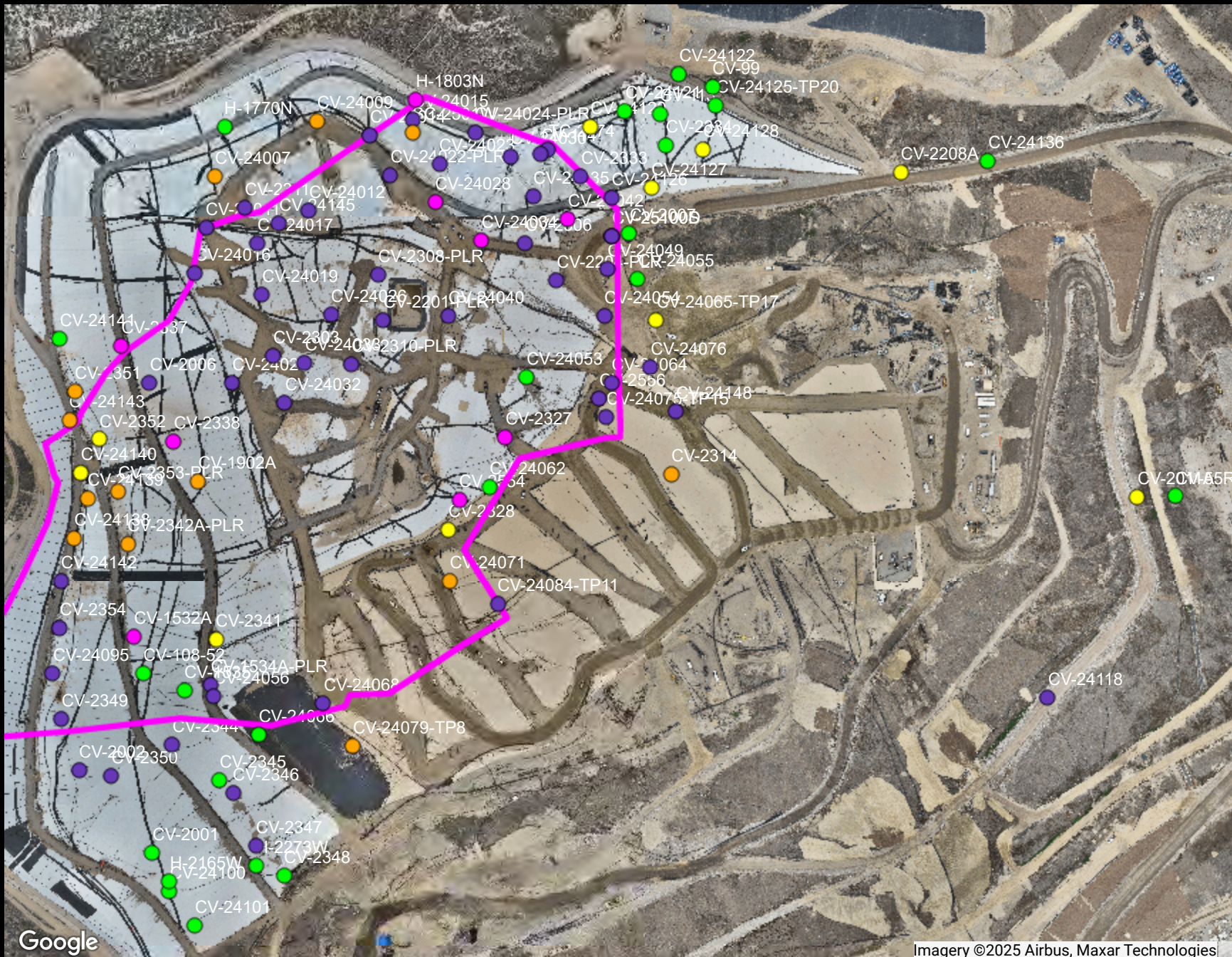
Parameter: H2 (mid range)

Analysis Method: Average

Date Range: 11/01/2025 - 11/30/2025

Map generation date : 12/10/2025





<u>Ranges Mapped</u>					# Points
[Green]	\geq	0	and	$<$ 500	24
[Yellow]	\geq	500	and	$<$ 1000	10
[Orange]	\geq	1000	and	$<$ 1500	13
[Magenta]	\geq	1500	and	$<$ 2000	9
[Purple]	\geq	2000	and	$<$ 1000000	53

Point Type Legend



ATTACHMENT F

Chiquita Canyon Landfill

Range Map

CO LAB (mid range)

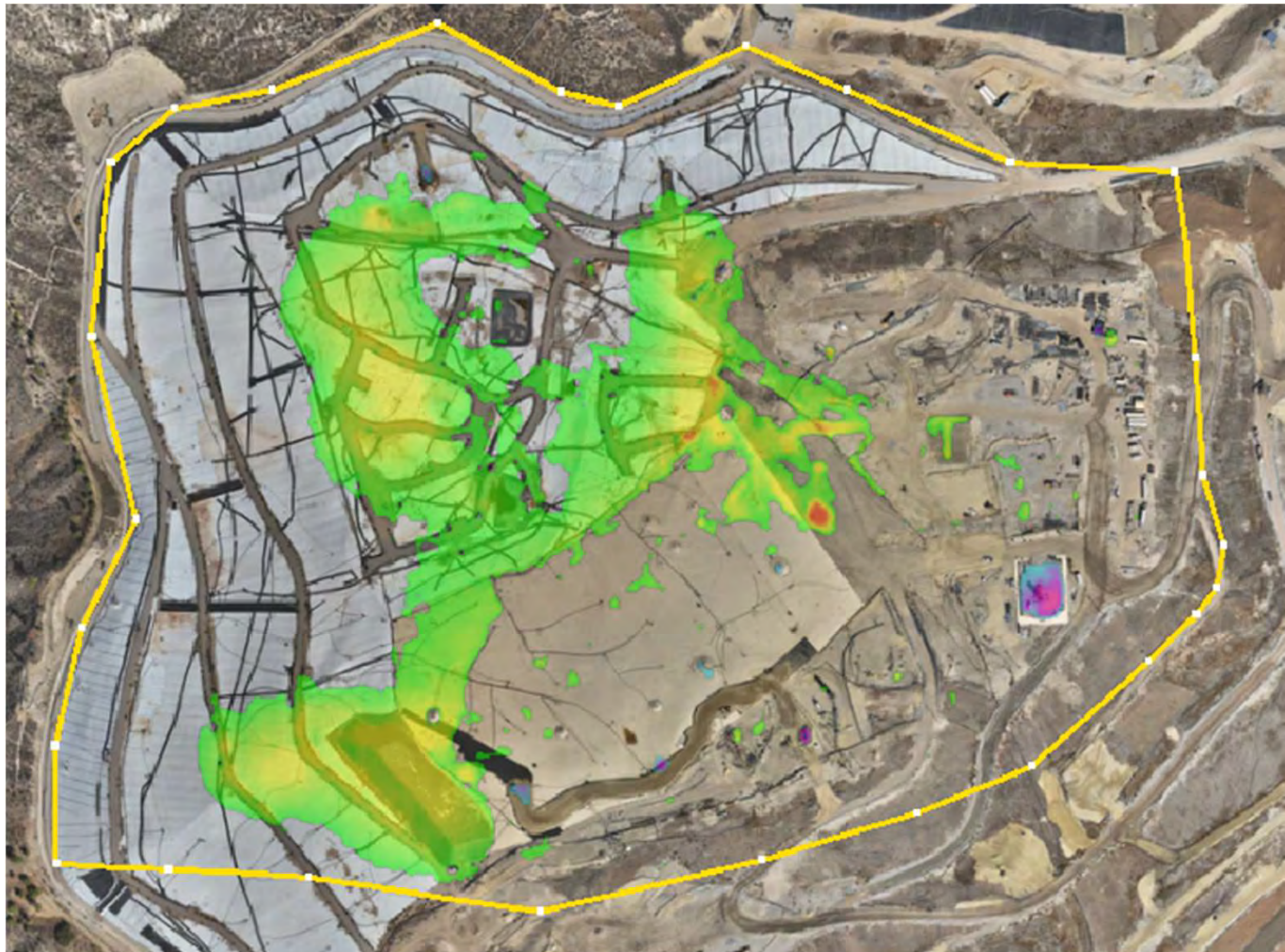
Analysis Method: Average

Date Range: 11/01/2025 - 11/30/2025

Map generation date : 12/10/2025



Chiquita Canyon Landfill - Quarterly Isopach



October 1, 2025 Survey Image. July 2, 2025 vs. October 1, 2025